

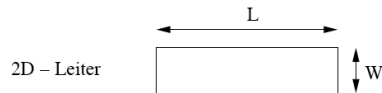
Theorie des mesoskopischen Elektronentransports

Prof. Dr. habil. Wolf Gero Schmidt

Inhaltsverzeichnis

0. Einführung	2
1. Grundbegriffe	3
1.1. 2-DEG	3
1.2. Effektive-Massen-Approximation (EMA)	4
1.3. Charakteristische Längen	7
1.4. Magnetfelder	9
1.5. Quermoden	11
1.6. Stromdichte	16
2. Landauer-Büttiker Formalismus	19
2.1. Widerstand eines ballistischen Leiters	19
2.2. Landauer-Gleichung	23
2.3. Ursprung des Widerstands	27
2.4. Spannungsmessung	32
2.5. Endliche Temperaturen und Spannungen	38
2.6. Pauli-Prinzip	41
3. Berechnung der Transmissionsfunktion	48
3.1. S-Matrix (für kohärenten Transport)	48
3.2. Greensche Funktionen	54
3.3. Tight-Binding-Approximation	58
3.4. Selbstenergie	68
3.5. Veranschaulichung: Feynmanpfade	70
3.6. Zusammenfassung und Einordnung	72
4. Beispiele	75
4.1. Quantenhalleffekt	75
4.2. Doppelbarriere	79

0. Einführung



Leitwert	$G = \sigma \frac{W}{L}$	(Ohm),	$\sigma =$ Leitfähigkeit
----------	--------------------------	--------	--------------------------

Voraussetzungen an Größe von W & L ? → Experimente seit 80er Jahren

Ohmsches Verhalten für

- $W, L \gg \lambda$: de-Broglie-Wellenlänge
- $\gg L_m$: mittlere freie Weglänge
(mittlere Weglänge bis Impulsänderung)
- $\gg L_\varphi$: Phasenrelaxationslänge
(mittlere Weglänge bis Phasenänderung)

stark material- und temperaturabhängig

Größenordnungen

0.1	-	1 mm	↑	L_m im Quantum-Hall-Regime
10	-	100 μm	↑	L_m/L_φ in HL für $T < 4K$
0.01	-	1 μm	↑	HL-BE
10 nm	-	100 nm	↑	λ in HL
			↑	L_m in polykristallinen Metallen
1 Å	-	1 nm	↑	λ in Metallen, atomare Abstände

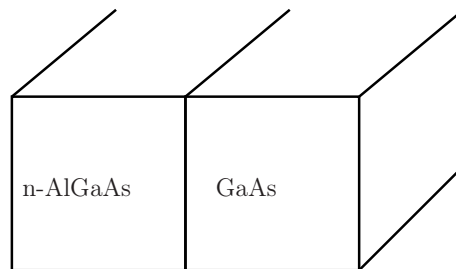
Mesoskopischer Leiter?

- groß bez. der Gitterkonstante $\sim \text{Å}$
- zu klein für Ohmsches Verhalten

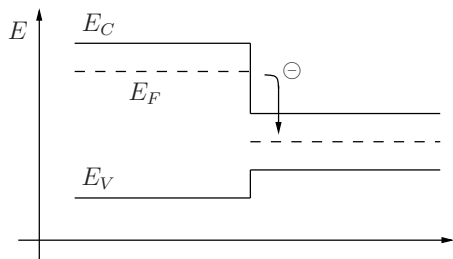
⇒ mesoskopischer Transport im Bereich $nm \dots 100\mu m$

1. Grundbegriffe

1.1. 2-DEG

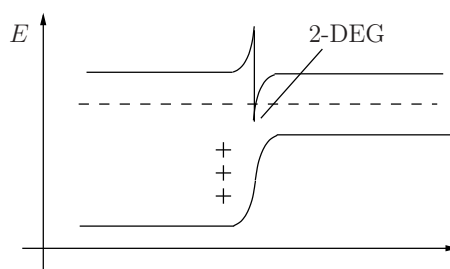


Bsp. für technische
Realisierung



Ausgleich der Fermi-Energien
durch LT

⇒ Bandverbiegung



⇒ Peak der e^- -Dichte nahe
Grenzfläche

Warum GaAs? Sehr hohe Beweglichkeit!

betrachten e^- unter Einfluß eines externen Feldes \vec{E}

⇒ zusätzlich zur zufälligen Bewegung gibt es eine Driftgeschwindigkeit v_d

$$\text{Im GG: } \left(\frac{d\bar{p}}{dt} \right)_{\text{Streuung}} = \left(\frac{d\bar{p}}{dt} \right)_{\text{Feld}}$$

$$\Rightarrow \frac{m\bar{v}_d}{\tau_m} = e\bar{E} \quad \tau_m \dots \text{Stoßzeit (Impulsrelaxationszeit)}$$

$$\text{Beweglichkeit } \mu \equiv \left| \frac{v_d}{E} \right| = \frac{|e|\tau_m}{m}$$

1.2. Effektive-Massen-Approximation (EMA)

betrachten e^- im Leitungsband (E_C),
beschrieben durch

$$\left\{ E_C + \frac{(i\hbar\nabla + e\bar{A})^2}{2m} + U(\bar{r}) \right\} \psi(\bar{r}) = E\psi(\bar{r})$$

$U(\bar{r})$: Potential durch Raumladungen etc.

\bar{A} : Vektorpotential

m : effektive Masse

Banddiskontinuitäten in $E_C \rightarrow E_C = E_C(\bar{r})$

Wellenfunktionen aus der EMA-Gleichung sind nicht die wahren Wellenfunktionen, sondern "geglättete" Versionen ohne die rapiden Oszillationen im atomaren Bereich

Beispiele:

(i) homogener HL mit

$$U(r) = 0, \quad \bar{A} = 0, \quad E_C = \text{const.}$$

$$\Rightarrow \psi(\bar{r}) = e^{i\bar{k}\bar{r}}$$

(anstelle von Blochwellen $\psi(\bar{r}) = u_k(\bar{r})e^{i\bar{k}\bar{r}}$)

(ii) 2-DEG

e^- frei in x - y -Ebene, beschränkt in z -Richtung durch Potential $U(z)$,

sei $\bar{A} = 0$

$$\Rightarrow \psi(\bar{r}) = \phi_n(z)e^{ik_x x} e^{ik_y y}$$

$$E = E_C + \varepsilon_n + \frac{\hbar^2}{2m}(k_x^2 + k_y^2)$$

n : Subbandindex für ϕ_n, ε_n ,

i. all. $\varepsilon_2 \gg kT \Rightarrow$ betrachten nur ε_1

⇒ können z -Dimension völlig ignorieren

⇒ neue EMA-GL.

$$E_S + \frac{(i\hbar\nabla + eA)^2}{2m} + U(x, y)\psi(x, y) = E\psi(x, y)$$
 mit $E_S = E_C + \varepsilon_1$

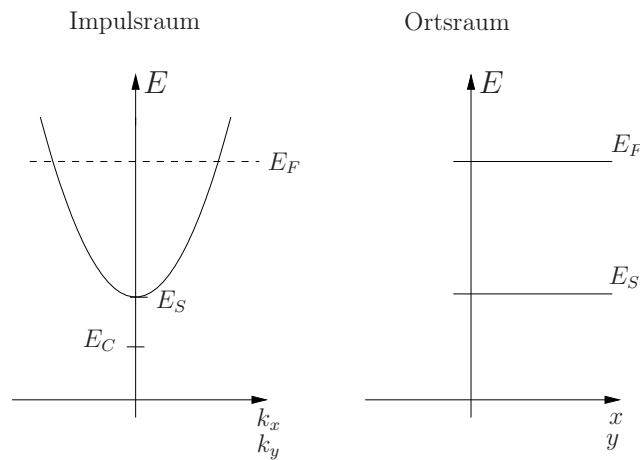
Speziell wieder $U = 0$, $\bar{A} = 0$

$$\Rightarrow \psi(x, y) = \frac{1}{\sqrt{S}} e^{ik_x x} e^{ik_y y}$$

mit Eigenenergien

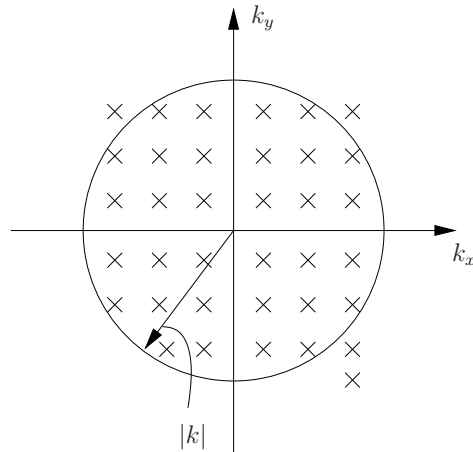
$$E = E_S + \frac{\hbar^2}{2m}(k_x^2 + k_y^2).$$

Banddiagramm im



Wieviel Zustände mit Energie $\leq E$? ($E > E_S$)

$$N_T(E) = \#k_x, k_y \quad \text{mit} \quad E_S + \frac{\hbar^2 k^2}{2m} \leq E$$



Annahme:

Leiter mit Dimensionen
 L_x, L_y , period. RB

$$|k| = \sqrt{\frac{(E - E_S)2m}{\hbar^2}}$$

$$\Rightarrow k_{x/y} = \frac{n_{x/y}2\pi}{L_{x/y}}$$

mit $n_{x/y} \in \mathbb{Z}$.

\Rightarrow "Größe" eines Zustands im $k_x - k_y$ -Raum

$$\frac{2\pi}{L_x} \cdot \frac{2\pi}{L_y} = \frac{4\pi^2}{S}$$

S : Fläche des Leiters

$$\Rightarrow N_T(E) = \underbrace{2}_{\text{Spin}} \cdot \underbrace{\pi k^2}_{\text{erlaubter k-Raum}} \cdot \underbrace{\frac{S}{4\pi^2}}_{\text{Dichte im k-Raum}}$$

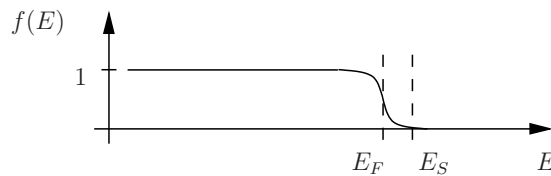
$$N_T(E) = S \frac{k^2}{2\pi} = \frac{mS}{\pi\hbar^2} (E - E_S)$$

Dichte der Zustände pro Fläche, pro Energieeinheit

$$N(E) = \frac{1}{S} \frac{d}{dE} N_T(E) = \frac{m}{\pi\hbar^2} \theta(E - E_S)$$

Besetzung der erlaubten Zustände

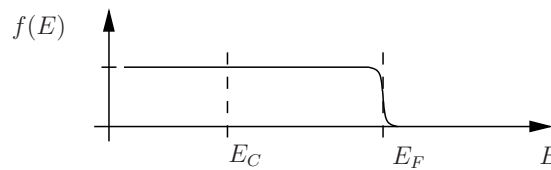
$$f(E) = \frac{1}{1 + e^{\frac{E - E_F}{kT}}} \quad \text{mit } E_F : \text{Fermi-Energie}$$



⇒ nicht entarteter
Grenzfall;

$$f(E') \approx e^{-\frac{(E-E_F)}{kT}}$$

für $E > E_S$



⇒ entarteter Grenzfall;

$$f(E') \approx \theta(E_F - E)$$

für $E > E_S$

Elektronendichte

$$n_S = \int N(E) f(E) dE$$

im entarteten Grenzfall

$$n_S = N_S \cdot (E_F - E_s) \quad \text{mit} \quad N_s \equiv \frac{m}{\pi \hbar^2} \quad (\text{2D-Zustandsdichte})$$

für $kT \ll E$ Stromleitung durch e^- dicht an der Fermi-Kante, dort Fermi-Wellenvektor

$$\begin{aligned} E_F - E_S &= \frac{\hbar^2 k_F^2}{2m} \Rightarrow \hbar k_F = \sqrt{2m(E_F - E_S)} \\ &= \sqrt{2m \cdot \frac{\pi \hbar^2}{m} \cdot n_S} \end{aligned}$$

$$\Rightarrow k_F = \sqrt{2\pi n_S}$$

$$\text{Fermi-Geschwindigkeit } v_F = \frac{\hbar k_F}{m}$$

1.3. Charakteristische Längen

Ohmsches Verhalten für $W, L \gg \lambda, L_m, L_\varphi$

- Wellenlänge, Strom getragen durch e^- an Fermi-Kante

$$\lambda_f = \frac{2\pi}{k_F} = \sqrt{\frac{2\pi}{n_S}}$$

$$n_S = s \cdot 10^{11} \text{ cm}^{-2} \longrightarrow \lambda_f \approx 35 \text{ nm} \quad (\text{typ. für HL})$$

- mittlere freie Weglänge L_m

Zusammenstöße mit Gitterdefekten, Phononen, anderen e^-
 → Streuung des e^- im anderen Zustand

Stoßzeit: τ_c

Impulsrelaxationszeit: τ_m

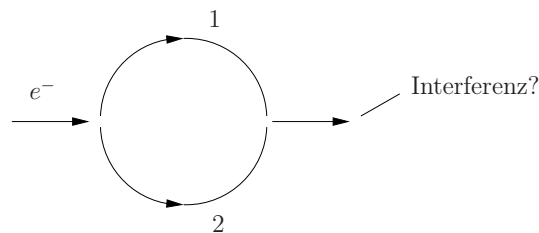
$$\frac{1}{\tau_m} = \frac{1}{\tau_c} \alpha_m \quad \alpha_m : \text{Effektivität der Streuung,} \\ 0 \leq \alpha_m \leq 1$$

$$L_m = v_F \tau_m$$

$$n_S = 5 \cdot 10^{11} \text{ cm}^{-2} \rightarrow L_m = 30 \mu\text{m}$$

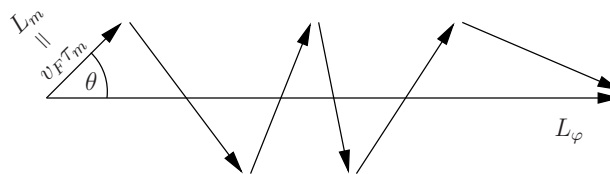
- Phasenrelaxationslänge L_φ

Gedankenexperiment, Strahlaufspaltung



- In jeden Arm statische Streuer (Defekte)
 → zerstören nicht die Phasenbeziehung (nur Verschiebung um konstanten Betrag)
- dynamische Streuer (Phononen)
 → zerstören stationäre Interferenz

Insbesondere für polykristalline Materialien $\tau_\varphi \gg \tau_m$ für $t > \tau_m$ zufällige Geschwindigkeitsverteilung



(Brownsche Bewegung)

$$L_\varphi^2 = D \tau_\varphi \quad \text{mit} \quad D = \frac{v_F^2 \tau_m}{2} \quad (\text{später in 1.6})$$

1.4. Magnetfelder

$$\text{Im GG: } \left(\frac{d\bar{p}}{dt} \right)_{\text{Streuung}} = \left(\frac{d\bar{p}}{dt} \right)_{\text{Feld}}$$

$$\frac{m\bar{v}_d}{\tau_m} = e[\bar{E} + \bar{v}_d \times \bar{B}]$$

$$\begin{pmatrix} \frac{m}{e\tau_m} & -B \\ B & \frac{m}{e\tau_m} \end{pmatrix} \begin{pmatrix} v_x \\ v_y \end{pmatrix} = \begin{pmatrix} E_x \\ E_y \end{pmatrix}$$

mit Stromdichte $\bar{I} = e\bar{v}_d n_S$ folgt

$$\begin{pmatrix} \frac{m}{e\tau_m} & -B \\ B & \frac{m}{e\tau_m} \end{pmatrix} \begin{pmatrix} \frac{I_x}{en_S} \\ \frac{I_y}{en_S} \end{pmatrix} = \begin{pmatrix} E_x \\ E_y \end{pmatrix}$$

Vgl. mit Definition des Widerstandstensors

$$\begin{pmatrix} E_x \\ E_y \end{pmatrix} = \begin{pmatrix} \varrho_{xx} & \varrho_{xy} \\ \varrho_{yx} & \varrho_{yy} \end{pmatrix} \begin{pmatrix} I_x \\ I_y \end{pmatrix}$$

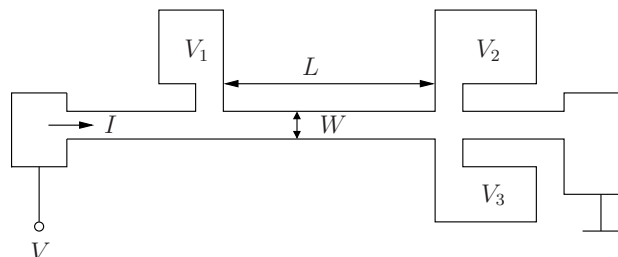
zeigt

$$\varrho_{xx} = \varrho_{yy} = \frac{m}{e^2 n_S \tau_m}$$

$$\varrho_{yx} = -\varrho_{xy} = \frac{B}{en_S}$$

Hall-Widerstand steigt mit B

Exp.



$$V_x = V_1 - V_2$$

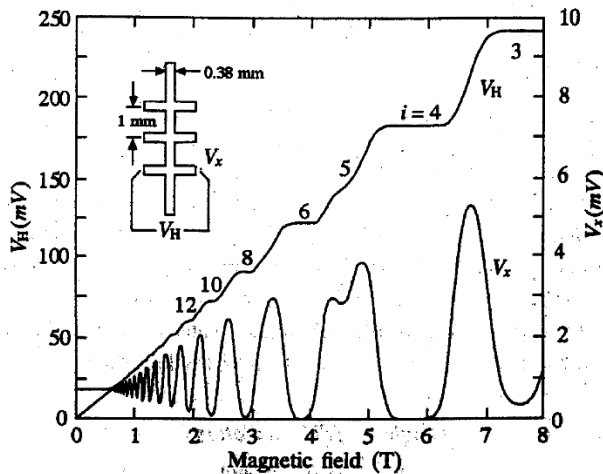
$$V_H = V_2 - V_3$$

$$I_y = 0 \Rightarrow$$

$$E_x = \rho_{xx} I_x \Rightarrow \rho_{xx} = \frac{E_x}{I_x} = \frac{V_x/L}{I/W} = \frac{V_x W}{IL}$$

$$E_y = \rho_{yx} I_x \Rightarrow \rho_{yx} = \frac{E_y}{I_x} = \frac{V_H/L}{I/W} = \frac{V_H W}{IL}$$

E. Cage, R.F. Dziuba & B.F. Field
IEEE Trans. Instrum. Meas. 34, 301 (1985)



$L = 1 \text{ mm}$
 $W = 0.4 \text{ mm}$
 $T = 1.2 \text{ K}$
 $I = 25 \mu\text{A}$

\Rightarrow Drude-Modell funktioniert nur für hohe Temperatur, kleine B -Felder

Warum? (volkstümlich)

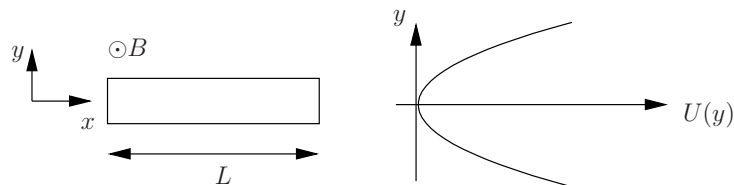
- B -Feld zwingt e^- auf Kreisbahn
- Umfang der Kreisbahn muß kommensurabel sein mit λ
 \rightarrow nicht alle λ , d.h. kinetische Energien erlaubt \rightarrow diskrete Niveaus

- wahrnehmbarer Effekte falls e^- mehrere Orbits durchlaufen kann bevor es gestreut wird

$$\tau_m \gg \frac{1}{\omega_c} \quad \omega_c : \text{Zyklotronfrequenz}$$

→ hohe B - Felder, geringe Streuung

1.5. Quermoden



$$\text{EMA-GL : } \left\{ E_S + \frac{(i\hbar\nabla + eA)^2}{2m} + U(y) \right\} \psi(x, y) = E\psi(x, y)$$

$$\bar{B} = \text{rot}\bar{A}, \quad \bar{A} = \begin{pmatrix} -By \\ 0 \\ 0 \end{pmatrix} \Rightarrow \bar{B} = \begin{pmatrix} 0 \\ 0 \\ B \end{pmatrix}$$

damit

$$\left\{ E_S + \frac{(p_x + eBy)^2}{2m} + \frac{p_y^2}{2m} + U(y) \right\} \psi(x, y) = E\psi(x, y)$$

mit

$$p_x \equiv -i\hbar\frac{\partial}{\partial x}, \quad p_y \equiv -i\hbar\frac{\partial}{\partial y}$$

$$\text{Ansatz: } \psi(x, y) = \frac{1}{\sqrt{L}} e^{ikx} \chi(y)$$

$$\left\{ E_S + \frac{(\hbar k + eBy)^2}{2m} + \frac{p_y^2}{2m} + U(y) \right\} \chi(y) = E\chi(y)$$

i. allg. keine analytische Lösung

→ untersuchen Spezialfälle

• $B = 0, \quad U(y) = \frac{1}{2}m\omega_0^2 y^2$

$$\left\{ E_S + \frac{\hbar^2 k^2}{2m} + \frac{p_y^2}{2m} + \frac{1}{2}m\omega_0^2 y^2 \right\} \chi(y) = E\chi(y)$$

$$\chi_{n,k}(y) = u_n(q) \quad \text{mit} \quad q = \sqrt{\frac{m\omega_0}{\hbar}} y$$

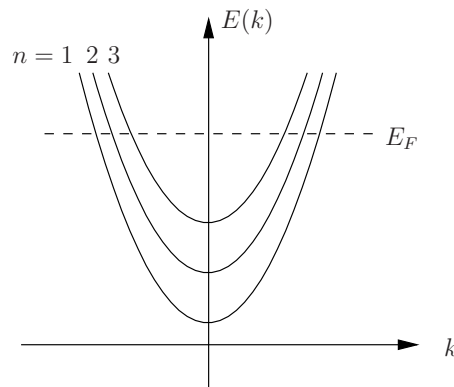
wobei $u_n(q) = e^{-\frac{q^2}{2}}$ $H_n(q)$: Hermitesches Polynom

$$H_0(q) = \frac{1}{\sqrt[4]{\pi}}$$

$$H_1(q) = \frac{\sqrt{2}q}{\sqrt[4]{\pi}}$$

$$H_2(q) = \frac{2q^2 - 1}{\sqrt{2}\sqrt[4]{\pi}}$$

$$E(n, k) = E_S + \frac{\hbar^2 k^2}{2m} + \left(n + \frac{1}{2} \right) \hbar\omega_0 \quad n = 0, 1, 2, \dots$$



Gruppengeschwindigkeit

$$\begin{aligned} v(n, k) &= \frac{1}{\hbar} \frac{\partial E(n, k)}{\partial k} \\ &= \frac{\hbar k}{m} \end{aligned}$$

Typisch: Confinement in z -Richtung $\sim 5 \dots 10nm$

→ diskrete Niveaus $\sim 100 meV$ auseinander

→ nur unterstes Band besetzt

aber schwaches Confinement in y

→ mehrere transversale oder Quermoden besetzt

- $U = 0, \quad B \neq 0$

$$\left\{ E_S + \frac{p_y^2}{2m} + \frac{(eBy + \hbar k)^2}{2m} \right\} \chi(y) = E\chi(y)$$

mit $y_k \equiv \frac{\hbar k}{|e|B}$ und $\omega_c \equiv \frac{|e|B}{m}$ folgt

$$\left\{ E_S + \frac{p_y^2}{2m} + \frac{1}{2}m\omega_c^2(y + y_k)^2 \right\} \chi(y) = E\chi(y)$$

analog zu vorigem Fall, aber jetzt verschobene Parabel

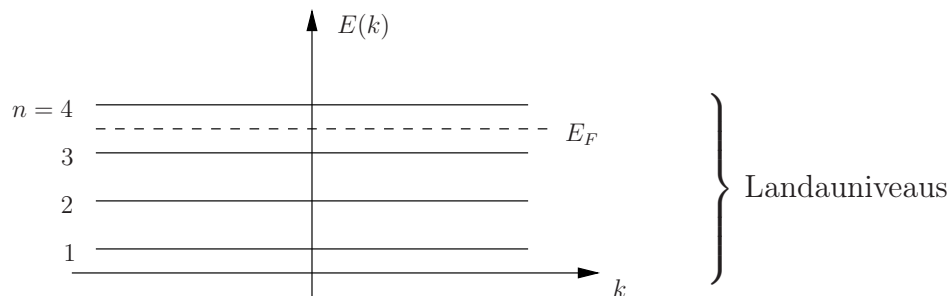
$$\longrightarrow \chi_{n,k}(y) = u_n(q + q_k)$$

mit

$$q = \sqrt{\frac{m\omega_c}{\hbar}}y$$

$$q_k = \sqrt{\frac{m\omega_c}{\hbar}}y_k$$

$$E(n, k) = E_S + \left(n + \frac{1}{2} \right) \hbar\omega_c \quad n = 0, 1, 2, \dots$$

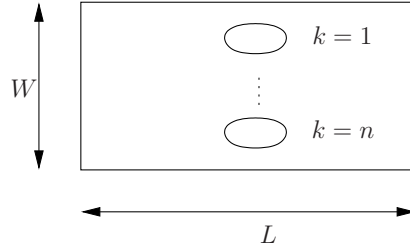


Gruppengeschwindigkeit:

$$v(n, k) = \frac{1}{\hbar} \frac{\partial E(n, k)}{\partial k} = 0! \quad \text{großer Unterschied zum Fall} \\ B = 0, U \neq 0$$

Ursache: e^- "bewegen" sich auf Kreisbahn

Wellenfunktionen verschieben sich entlang y mit wachsenden k :



Wieviel e^- auf einem Landau-Niveau?

$$\Delta k = \frac{2\pi}{L} \Rightarrow \Delta y_k = \frac{\hbar \Delta k}{|e|B} = \frac{2\pi \hbar}{|e|B \cdot L}$$

$$N = \underbrace{2}_{Spin} \cdot \frac{W}{\Delta y_k} = \frac{|e|B \cdot L \cdot W}{\pi \hbar} = \frac{|e|B \cdot S}{\pi \hbar}$$

- $U \neq 0, B \neq 0$

$$\left\{ E_S + \frac{p_y^2}{2m} + \frac{(eBy + \hbar k)^2}{2m} + \frac{1}{2} m \omega_0^2 y^2 \right\} \chi(y) = E \chi(y)$$

$$\text{mit } \omega_{c0}^2 \equiv \omega_c^2 + \omega_0^2, \quad \omega_c \equiv \frac{|e|B}{m}$$

$$y_k \equiv \frac{\hbar k}{|e|B}$$

$$\left\{ E_S + \frac{p_y^2}{2m} + \frac{1}{2} m \frac{\omega_0^2 \omega_c^2}{\omega_{c0}^2} y_k^2 + \frac{1}{2} m \omega_{c0}^2 \left[y + \frac{\omega_c^2}{\omega_{c0}^2} y_k \right]^2 \right\} \chi(y) = E \chi(y)$$

→ wieder 1D-SG mit parabolischem Potential

$$\Rightarrow \chi_{n,k}(y) = u_n \left[q + \frac{\omega_c^2}{\omega_{c0}^2} q_k \right]$$

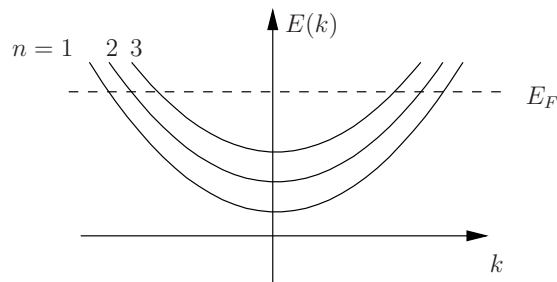
$$\text{mit } q = \sqrt{\frac{m\omega_{c0}}{\hbar}} y, \quad q_k = \sqrt{\frac{m\omega_{c0}}{\hbar}} y_k$$

$$E(n, k) = E_S + \left(n + \frac{1}{2} \right) \hbar \omega_{c0} + \frac{\hbar^2 k^2}{2m} \frac{\omega_0^2}{\omega_{c0}^2}$$

$$v(n, k) = \frac{1}{\hbar} \frac{\partial E(n, k)}{\partial k} = \frac{\hbar k}{m} \frac{\omega_0^2}{\omega_{c0}^2}$$

$$\Rightarrow \text{Vgl. mit } B = 0: m \rightarrow m \left(1 + \frac{\omega_c^2}{\omega_0^2} \right)$$

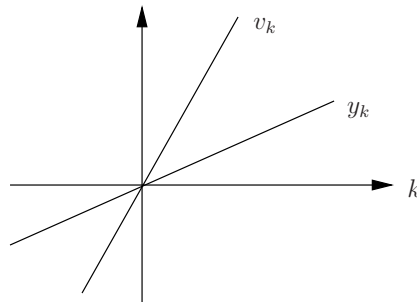
B -Feld vergrößert effektive Masse
 \rightarrow Dispersion wird flacher



Wellenfunktionen zentriert um $y = -y_k$
 mit

$$y_k = \frac{\hbar k}{|e|B}$$

$$= v(n, k) \frac{\omega_{c0}^2}{\omega_0^2} \cdot \frac{m}{|e|B} = v \cdot \frac{\omega_0^2 + \omega_c^2}{\omega_c \omega_0^2}$$



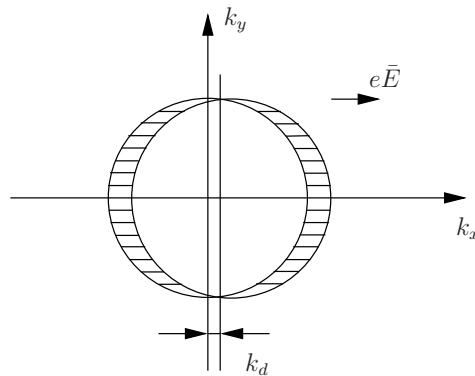
Transversale Position der WF proportional zur jeweiligen Geschwindigkeit

- \rightarrow Zustände die Strom in $+x$ tragen separiert von Zuständen die Strom in $-x$ -Richtung tragen
- \rightarrow drastische Reduktion der $e^- - e^-$ -Streuung
- \rightarrow drastische Reduktion des Widerstands im QH-Regime!

1.6. Stromdichte

$$\bar{I} = en_s \bar{v}_d \quad \begin{array}{l} \bar{v}_d : \text{Driftgeschwindigkeit} \\ n_s : e^- \text{-Dichte} \end{array}$$

einfaches Bild täuscht,
 energieabhängige Messungen zeigen, daß nur e^- um die Fermi-Energie zum
 Nettostromfluß beitragen



$f(\bar{k})$: Wahrscheinlichkeit, daß \bar{k} besetzt ist

$$T = 0 \quad \Rightarrow \quad f(k) = \begin{cases} 1 & |\bar{k}| < k_F \\ 0 & |\bar{k}| > k_F \end{cases}$$

E-Feld verschiebt die Verteilung so daß

$$f(\bar{k}) \Big|_{E \neq 0} = f(\bar{k} - \bar{k}_d) \Big|_{E=0}$$

mit

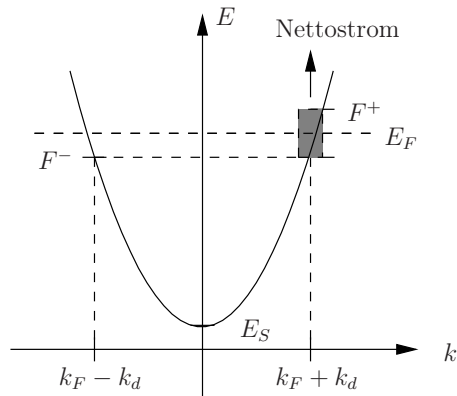
$$\frac{\hbar \bar{k}_d}{m} = \bar{v}_d \stackrel{(\text{früher, 1.1})}{=} \frac{e \bar{E} \tau_m}{m} \quad \Rightarrow \quad \bar{k}_d = \frac{e \bar{E} \cdot \tau_m}{\hbar}$$

führen Quasi-Fermi-Niveaus F^- & F^+ ein;

F^+ für $e^- \uparrow \uparrow e \bar{E}$

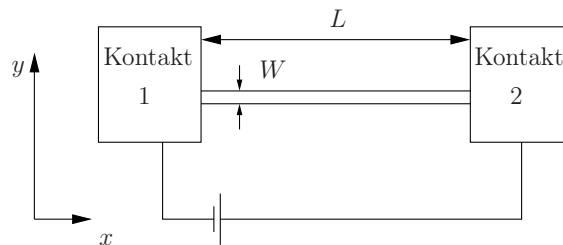
F^- für $e^- \uparrow \downarrow e \bar{E}$

$$F^\pm \approx \frac{\hbar^2 (k_F \pm k_d)^2}{2m}$$

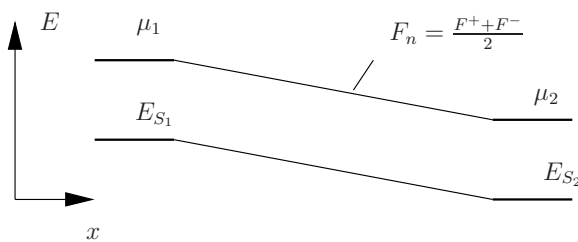


$$\Rightarrow F^+ - F^- \approx \frac{2\hbar^2 k_F k_d}{2m} = 2eE \underbrace{\tau_m \cdot v_F}_{L_m} = 2eEL_m$$

⇒ Separation der Quasi-Fermi-Niveaus proportional zum Energiegewinn eines e^- entlang der mittleren freien Weglänge



Banddiagramm unter Spannung



- e^- mit Energien $< \mu_2$ tragen nicht zum Stromfluß bei
- $\underbrace{\#e^-}_{\text{(eigentlich Dichte!)}}$ mit $\mu_1 < E < \mu_2$: $\begin{cases} N_s(\mu_1 - \mu_2) & \text{in Kontakt 1} \\ 0 & \text{in Kontakt 2} \end{cases}$
 $\left(N_s = \frac{m}{\pi \hbar^2}, \quad \text{2D-Zustandsdichte, vgl. 1.2} \right)$

\Rightarrow Konzentrationsgradient stromrelevanter e^- von Kontakt 1 zu Kontakt 2
 \Rightarrow Diffusionsstromdichte

$$I = eD \nabla n = eD \underbrace{\frac{\mu_1 - \mu_2}{L}}_{Ee} N_s = e^2 D N_s E$$

Vgl. mit Definition der Leitfähigkeit

$$I = \sigma E \quad \Rightarrow \quad \boxed{\sigma = e^2 N_s D \quad \text{Einstein-Beziehung für entartete Leiter}}$$

früher (1.4) im Drude-Bild

$$I = \frac{e^2 \tau_m n_s}{m} E = e n_s \mu \cdot E \quad \text{mit Beweglichkeit } \mu = \frac{e \tau_m}{m}$$

$$\Rightarrow \quad \sigma = e n_s \mu$$

Konsistenz erfordert

$$e n_s \mu = e^2 N_s D \quad \Rightarrow \quad D = \frac{n_s \mu}{e N_s}$$

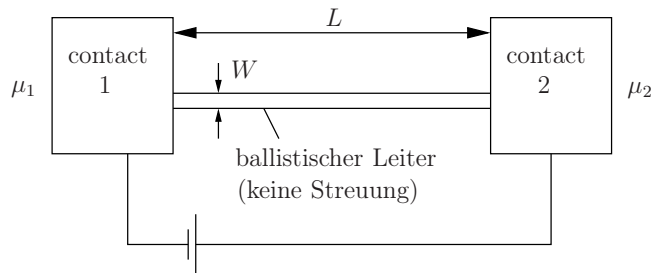
mit $n_s = N_s \cdot \underbrace{(E_F - E_S)}_{\frac{m}{2} v_f^2}$: Elektronendichte

folgt

$$\begin{aligned} D &= \frac{m}{2} v_F^2 \cdot \frac{\mu}{e} \quad (\text{jetzt } \mu \text{ von oben}) \\ &= \frac{v_F^2}{2} \frac{m}{e} \cdot \frac{e \tau_m}{m} \\ \Rightarrow \quad &\boxed{D = \frac{1}{2} v_F^2 \tau_m} \end{aligned}$$

2. Landauer-Büttiker Formalismus

2.1. Widerstand eines ballistischen Leiters



Ohmsches Verhalten: $G = \sigma \frac{W}{L}$
 reduzieren $L \Rightarrow G \rightarrow G_c = G(L \ll L_m)$

Woher kommt G_c ?

Kontaktwiderstand G_c^{-1} infolge der Umverteilung des Stroms, in den Kontakten ∞ viele Moden, im Leiter nur wenige Moden

Kontaktwiderstand beseitigen durch Kontakte welche identisch zum Leiter sind?

Ja! Aber dann macht Messung keinen Sinn! Wollen das Spannung über Leiter abfällt, deshalb müssen die Kontakte "leitfähiger" sein als der Leiter

Annahme: "reflexionsfreie" Kontakte, d.h. e^- gehen vom Leiter in den Kontakt ohne Reflexionen (gilt nicht umgekehrt!)

numerische Rechnungen rechtfertigen diese Annahme
 (Szater & Stone, Phys. Rev. Lett. 62, 300 (1989))

\Rightarrow einfache Situation:

+ k -Zustände besetzt mit e^- aus linkem Kontakt

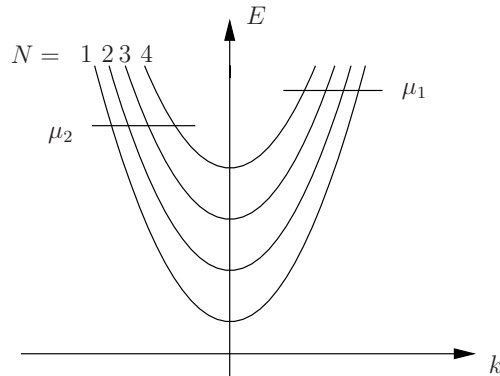
- k -Zustände besetzt mit e^- aus rechtem Kontakt

\Rightarrow Quasi-Ferminiveau

$$F^+(+k) = \mu_1$$

$$F^-(-k) = \mu_2$$

(keine kausale Beziehung zwischen rechtem Kontakt und $+k$ -Zuständen bzw. linkem Kontakt und $-k$ -Zuständen)



\Rightarrow Für $T = 0$ wird der Strom von $+k$ -Zustände zwischen μ_1 und μ_2 getragen

Jede Mode hat Dispersionsrelation $E(N, k)$ mit minimaler Energie $\varepsilon_N = E(N, k = 0)$ unterhalb der sie sich nicht ausbreiten kann

Moden mit Energie E

$$M(E) = \sum_N \theta(E - \varepsilon_N)$$

Strom getragen von einer Mode?

betrachten einzelne Mode, $+k$ -Zustände besetzt entsprechend Verteilungsfunktion $f^+(E)$

$$\text{Strom} \quad I = env \quad n : \#e^- / \text{Längeneinheit}$$

einzelner Zustand im Leiter der Länge L

$$\longrightarrow n = \frac{1}{L}, \text{ summieren über } k\text{-Zustände}$$

$$\begin{aligned} \Rightarrow I^+ &= \frac{e}{L} \sum_k v f^+(E) = \frac{e}{L} \sum_k \frac{1}{\hbar} \frac{\partial E}{\partial k} f^+(E) \\ &\sum_k \rightarrow 2 \cdot \frac{L}{2\pi} \int dk \end{aligned}$$

$$I^+ = \frac{e}{L} \cdot 2 \frac{L}{2\pi} \int \frac{1}{\hbar} \frac{\partial E}{\partial k} f^+(E) dk$$

$$= \frac{2e}{h} \int_{\epsilon}^{\infty} f^+(E) dE$$

$$\Rightarrow \boxed{\begin{array}{l} \text{Strom} \quad \text{pro Mode pro Energieeinheit} \\ \text{ist} \quad \quad \frac{2e}{h} \approx 80 \text{ nA/meV} \end{array}}$$

Verallgemeinerung auf viele Moden

$$\boxed{I^+ = \frac{2e}{h} \int_{-\infty}^{\infty} f^+(E) M(E) dE; \quad M(E) = \sum_N \theta(E - \epsilon_N)}$$

Annahme: $M(E) = M$ für $\mu_2 < E < \mu_1$

$$\Rightarrow I = \frac{2e}{h} \cdot M \cdot (\mu_1 - \mu_2) = \underbrace{\frac{2e^2}{h}}_{G_c} \cdot \underbrace{M \cdot \frac{e}{V}}_V$$

$$\boxed{\begin{array}{l} \text{Kontaktwiderstand} \\ G_c^{-1} \equiv \frac{\mu_1 - \mu_2}{e \cdot I} = \frac{h}{2e^2 M} \approx \frac{12.9 \text{ k}\Omega}{M} \end{array}}$$

$M(E)$ hängt von ϵ_N , d.h. $U(y)$ ab

breiter Leiter, d.h. $W \gg \frac{1}{k_F}$, Details unwichtig

→ Annahme: periodischer RB $\Rightarrow \Delta k_y = \frac{2\pi}{W}$, jedes k_y entspricht erlaubter Mode

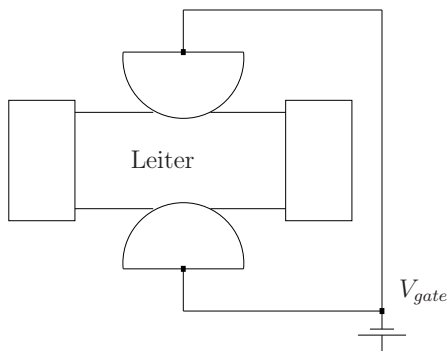
Stromtragende k_y gilt: $-k_F < k_y < k_F$

$$\begin{aligned} \rightarrow M &= \text{Int} \left(\frac{2k_F}{2\pi/W} \right) = \text{Int} \left(\frac{W \cdot k_F}{\pi} \right) \\ &= \text{Int} \left(\frac{W \cdot 2}{\lambda_F} \right) \end{aligned}$$

Bsp.: (FET)

$$\begin{array}{l} \lambda_F \approx 30 \text{ nm (typ. für HL)} \\ W \approx 15 \mu\text{m} \end{array} \Rightarrow M \approx 1000, \quad G_c^{-1} \approx 12.5 \Omega$$

Exp.: Vgl. Wees et al., PRL 60, 848 (1988)



⇒ Kontinuierliche Verengung
des Leiters durch V_{gate}

⇒ diskrete Abnahme der Leitfähigkeit

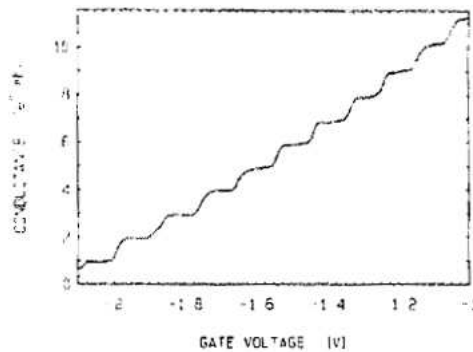


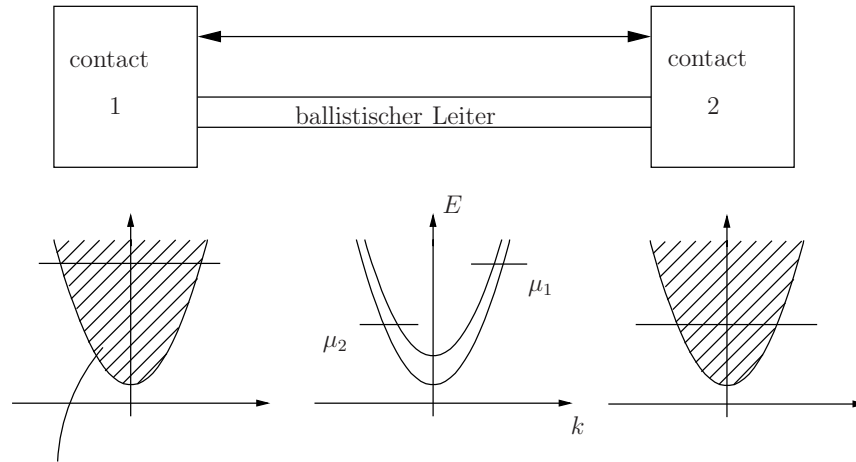
Abbildung: Phys. Rev. Lett. **60**, 848 (1988)

Bem.: 2 wesentliche Unterschiede zu Ohm

- längenunabhängiger Widerstand
- diskrete Abhängigkeit von Breite

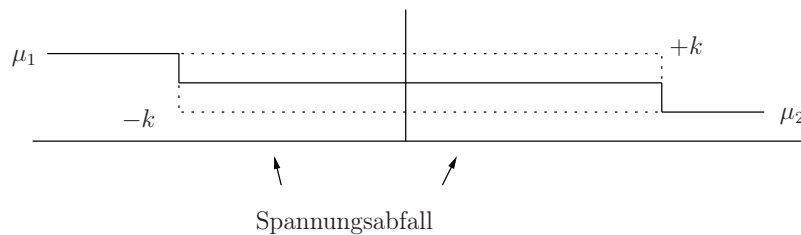
Wo fällt die Spannung ab?

Kontaktwiderstand ist Eigenschaft des Leiters, trotzdem fällt die Spannung an der Grenzfläche zum Kontakt ab:

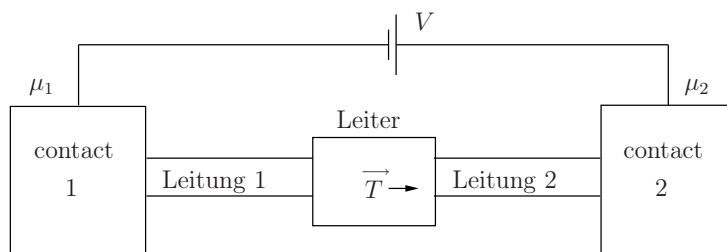


große Zustandsdichte
 $+k$ und $-k$ -Zustände haben
 gleichen Quasi-Fermi-Niveau

mitteln chemisches Potential von $+k$ und $-k$ -Zustände



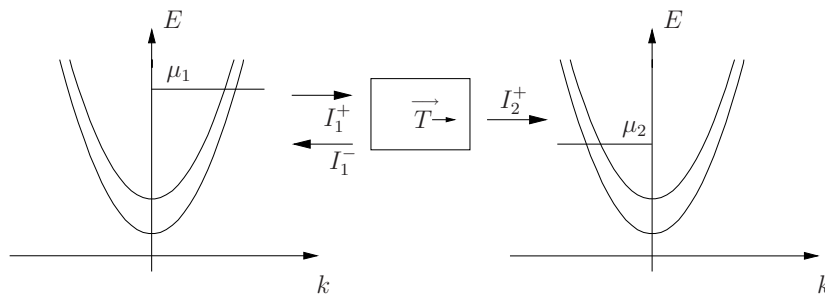
2.2. Landauer-Gleichung



Leitung 1/2: ballistische Leiter, M transversale Moden

T : Transmissionskoeffizient: Wahrscheinlichkeit das ein e^- aus Leitung 1 nach Leitung 2 transmittiert

reflexionsfreie Kontakte \Rightarrow $+k$ -Zustände in Leitung 1 kommen von Kontakt 1, haben chem. Pot. μ_1
 $-k$ -Zustände in Leitung 2 kommen von Kontakt 2, haben chem. Potential μ_2



$$T = 0 \quad \Rightarrow \quad I_1^+ = \left(\frac{2e}{h}\right) M(\mu_1 - \mu_2) \quad ((2.1) \text{ Strom durch ballistischen Leiter})$$

Zustrom von e^- von Leitung 1 in Leiter

Abfluß durch Leitung 2

$$I_2^+ = \left(\frac{2e}{h}\right) M(\mu_1 - \mu_2) \cdot T$$

Rest wird reflektiert in Kontakt 1

$$I_1^- = \left(\frac{2e}{h}\right) M(\mu_1 - \mu_2)(1 - T)$$

Nettostrom

$$I = I_1^+ - I_1^- = I_2^+ = \left(\frac{2e}{h}\right) MT(\mu_1 - \mu_2)$$

damit

$$G = \frac{I}{(\mu_1 - \mu_2)/e} = \frac{2e^2}{h} MT \quad \text{Landauer-Gleichung}$$

Bemerkung:

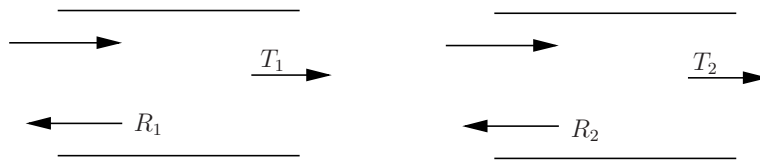
- $T = 1 \rightarrow$ Widerstand eines ballistischen Leiters
- früher (1.6) Einstein-Beziehung für entartete Leiter

$$\sigma = e^2 N_S D$$

$$\left. \begin{array}{l} \text{DOS } N_s \rightarrow M \\ \text{Diff. Konst. } D \rightarrow T \end{array} \right\} \Rightarrow \sigma \rightarrow G$$

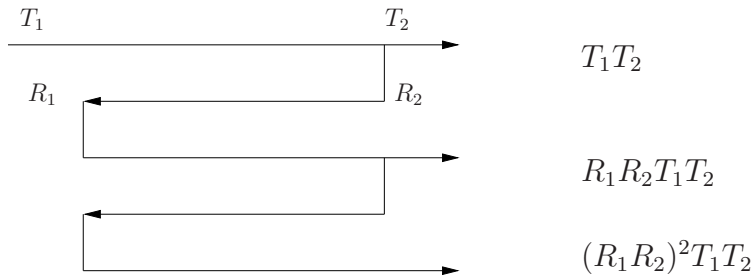
• Ohmsches Verhalten im Grenzwert?

2 Leiter in Reihe:



Gesamttransmission? $T_{12} = T_1 \cdot T_2?$ (naiv)

multiple Reflexionen (vernachlässigen Phase)



$$\begin{aligned} \Rightarrow T_{12} &= T_1 T_2 + T_1 T_2 R_1 R_2 + T_1 T_2 R_1^2 R_2^2 + \dots \\ &= \frac{T_1 T_2}{1 - R_1 R_2} \end{aligned}$$

mit $T = 1 - R$ folgt

$$\frac{1 - T_{12}}{T_{12}} = \frac{1 - T_1}{T_1} + \frac{1 - T_2}{T_2}$$

$\Rightarrow \frac{(1 - T)}{T}$ ist additiv

\Rightarrow für N Streuer in Reihe gilt:

$$\begin{aligned} \frac{1 - T(N)}{T(N)} &= N \frac{1 - T}{T} \\ T(N) &= \frac{T}{N(1 - T) + T} \end{aligned}$$

$N = \nu L$ mit ν : lin. Dichte der Streuer
 L : Länge des Leiters

$$\Rightarrow T(L) = \frac{L_0}{L + L_0}$$

mit

$$L_0 \equiv \frac{T}{\nu(1-T)}$$

L_m : mittlere freie Weglänge bevor e^- gestreut wird
 $1 - T$: Streuwahrscheinlichkeit an einem Streuer

$$\longrightarrow \underbrace{(1-T)\nu}_{\text{effektive Dichte der Streuer}} L_m \approx 1 \quad \Rightarrow \quad L_m \approx \frac{1}{\nu(1-T)} \approx L_0$$

\uparrow
 $T \approx 1$

Jetzt Landauer-Gl.

$$G = \frac{2e^2}{h} MT$$

für breiten Leiter $M = \#k = \frac{2k_F}{\Delta k} = \frac{k_F \cdot W}{\pi}$ ($\Delta k = \frac{2\pi}{W}$ früher (1.2))

$$\text{damit } G = \frac{2e^2}{h} \frac{k_F \cdot W}{\pi} T$$

mit $\hbar k_F = m v_F$, $N_s = \frac{m}{\pi \hbar^2}$ (früher (1.2)), $h = 2\pi \hbar$

$$\text{folgt } G = e^2 W N_s \left(\frac{v_F \cdot T}{\pi} \right)$$

mit $T = \frac{L_0}{L + L_0}$ (gerade abgeleitet, $L_0 \approx L_m$)

$$\Rightarrow G = \frac{W}{L + L_0} e^2 N_s \underbrace{\left(\frac{v_F L_0}{\pi} \right)}_{\sigma}$$

(früher, (1.6)) $\left\{ \begin{array}{l} \text{Diffusionskonst. } D = \frac{1}{2} v_F^2 \tau_m \approx \frac{v_F L_0}{\pi} \\ \text{Einstein-Bez. } \sigma = e^2 N_s D \end{array} \right.$

$$\longrightarrow G = \frac{\sigma W}{L + L_0}$$

$$G^{-1} = \frac{L + L_0}{\sigma W} = \frac{L}{\sigma W} + \frac{L_0}{\sigma W}$$

allgemein gilt:

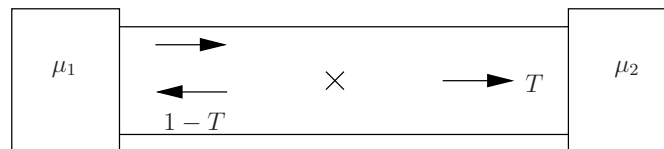
$$G^{-1} = \frac{h}{2e^2 M} \frac{1}{T} = \frac{h}{2e^2 M} \cdot \frac{1-T}{T} + \frac{h}{2e^2 M}$$

\uparrow ohmscher Widerstand \downarrow \uparrow Kontaktwiderstand \downarrow

2.3. Ursprung des Widerstands

$$G = \left(\frac{2e^2}{h} \right) MT$$

Streuer geben Anlaß zu Widerstand durch Reduzierung der Transmission
Betrachten Leiter mit M Moden, 1 Streuer mit T



$$G^{-1} = \frac{h}{2e^2 M} + \underbrace{\frac{h}{2e^2 M} \frac{1-T}{T}}_{\text{Streuwiderstand } G_s^{-1}}$$

- Wo fällt die Spannung am Streuwiderstand ab?
- Energiedissipation I^2/G_s (falls Streuer elastisch)?

⇒ Untersuchen Energieverteilung der e^- (vernachlässigen Phaseneffekte, reflexionsfreie Kontakte)

+ k -Zustände, links von Streuer

$$f^+(E) = \theta(\mu_1 - E)$$

- k -Zustände, rechts von Streuer

$$f^-(E) = \theta(\mu_2 - E)$$

normieren elektrochem. Potential

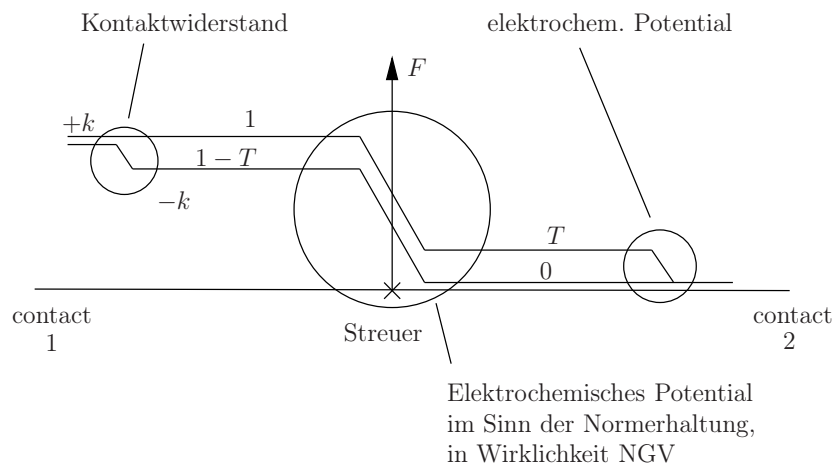
$$\mu_1 \rightarrow 1, \quad \mu_2 \rightarrow 0$$

+k-Zustände

$$F^+ = \begin{cases} \mu_1 & \text{vor} \longrightarrow 1 \\ F'' = T\mu_1 + (1-T)\mu_2 & \text{nach Streuer} \longrightarrow T \end{cases}$$

-k-Zustände

$$F^- = \begin{cases} F' = (1-T)\mu_1 + T\mu_2 & \text{vor} \longrightarrow 1 - T \\ \mu_2 & \text{nach Streuer} \longrightarrow 0 \end{cases}$$



Potentialabfall am Streuer (normiert)

$$1 - T$$

→ tatsächlicher Abfall $eV_S = (1 - T)(\mu_1 - \mu_2)$

Rest ($T(\mu_1 - \mu_2)$) fällt an Kontakten ab

⇒ Strom $I = \left(\frac{2e}{h}\right) MT(\mu_1 - \mu_2)$ fließt durch Reihenschaltung von Streu- und Kontaktwiderstand:

$$G_s^{-1} = \frac{h}{2e^2 M} \cdot \frac{1 - T}{T}, \quad G_c^{-1} = \frac{h}{2e^2 M} \cdot \frac{T}{T}$$

Wo fällt Joulsche Wärme I^2/G_s ab?

Falls Streuer elastisch \rightarrow Energiedissipation durch inelastische Prozesse (Phononenemission) auf Längenskala der Energierelaxationslänge

Energiedissipation $P_D \equiv \frac{d}{dx} I_U$ mit

Energiestrom $I_U = \frac{1}{e} \int E i(E) dE$ mit

Stromverteilungsfunktion $i(E)$ des elektrischen Stroms I

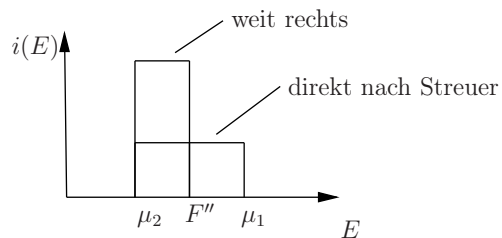
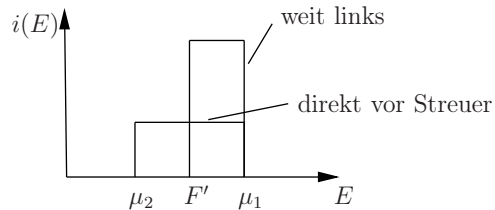
$$I = \int i(E) dE; \quad i(E) = \frac{2eM}{h} (f^+(E) - f^-(E)) \quad (*)$$

mittlere Energie des Stroms

$$U = \frac{\int E i(E) dE}{\int i(E) dE} = \frac{e I_U}{I}$$

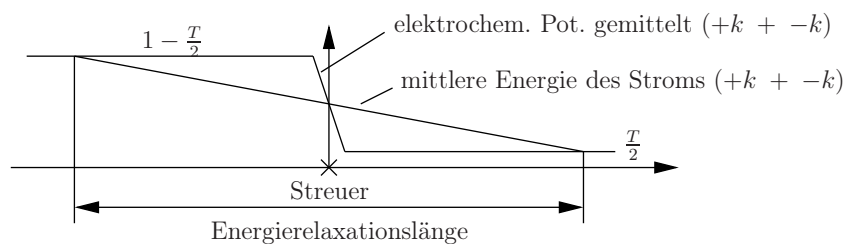
I ändert sich nicht entlang x

$$\Rightarrow P_D = \frac{I dU}{e dx}$$



um U zu bestimmen, müssen wir über $+k$ - und $-k$ -Zustände mitteln

$$\Rightarrow U^* = \begin{cases} (F' + \mu_1)/2 & \text{weit links} \\ (\mu_1 + \mu_2)/2 & \text{am Streuer} \\ (F'' + \mu_2)/2 & \text{weit rechts} \end{cases}$$



⇒ lokalisierter Abfall des elektrochemischen Potentials, aber Joulsche Wärme über weiten Bereich

Ursache: Aufheizen des e^- -Stroms hinter dem Streuer, bevor Energie ans Gitter übertragen wird

Elektronendichte

Scharfer Abfall der Quasi-Ferminiveaus am Streuer

Leitungsbandminimum folgt mit kontinuierlicher Abfall (weil Feldstärke endlich bleiben muß)

⇒ Variation der Elektronendichte

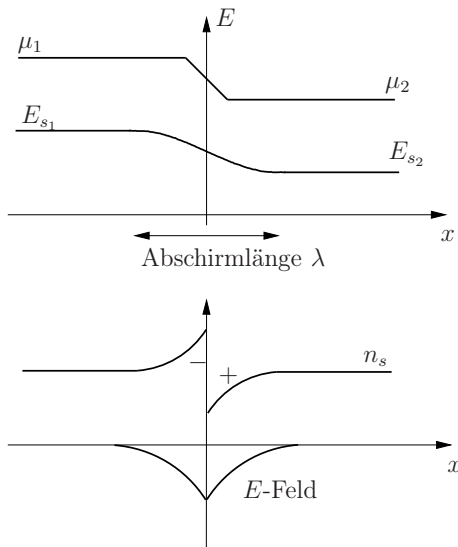
$$n_s = N_s(F - E_s) \rightarrow \delta n_s = N_s(\delta F - \delta E_s)$$

|
(früher, 1.2)

Elektronenstau vor, -defizit hinter Streuer

⇒ mesoskopischer Dipol

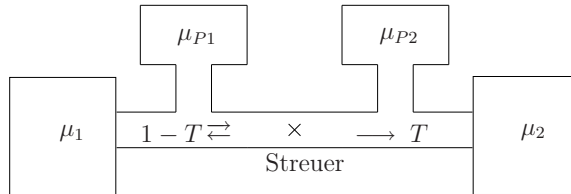
⇒ zusätzliches E-Feld



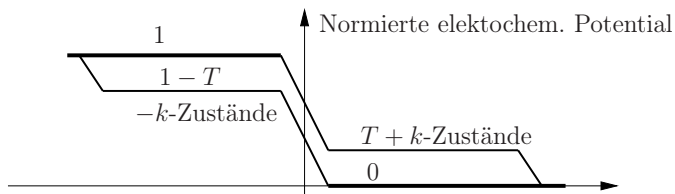
$$\lambda = \sqrt{\frac{\epsilon d}{e^2 N_s}}$$

ϵ : DK
 d : z-Dimension des 2DEG
 typ. $\approx 5nm$
 GaAs

2.4. Spannungsmessung



(Vgl. 2.3)



Meßproben P1 & P2 messen lokales elektrochem. Potential von $+k$, $-k$ -Zuständen oder feste Kombination beider (Idealfall!)

$$\Rightarrow \mu_{P1} - \mu_{P2} = (1 - T)\Delta\mu \quad \text{mit} \quad \Delta\mu = \mu_1 - \mu_2$$

früher (2.3) $I = \left(\frac{2e}{h}\right) MT\Delta\mu$

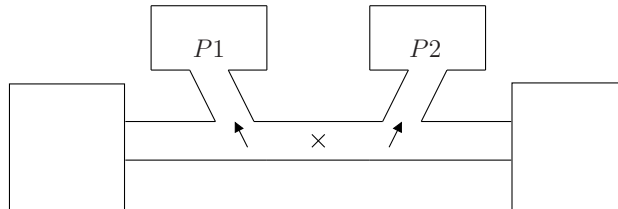
$$\Rightarrow R = \frac{(\mu_{P1} - \mu_{P2})/e}{I} = \frac{h}{2eM} \frac{1 - T}{T}$$

gemessener Widerstand

Probleme:

- Proben sind invasiv, streuen selbst
→ Streben nach minimaler Kopplung
- nicht identische Proben koppeln unterschiedlich an $+k$ und $-k$ -Zustände

Bsp:



P2 koppelt besser an $+k$ -Zustände

$$\rightarrow \mu_{P2} \approx T\Delta\mu \text{ (Potential der } +k \text{ Zustand)}$$

P1 koppelt an $-k$ -Zustände

$$\rightarrow \mu_{P1} \approx (1 - T)\Delta\mu$$

$$\Rightarrow R = \frac{(\mu_{P1} - \mu_{P2})e}{I} = \frac{h}{2eM} \frac{1 - 2T}{T} \text{ gemessener Widerstand}$$

$R < 0$ für $T > 0.5!$ (für großer Transmission ist $\mu_{P2} > \mu_{P1}$)

anderes Extrem:

$$\text{P2 koppelt an } -k \Rightarrow \mu_{P2} \approx 0$$

$$\text{P1 koppelt an } +k \Rightarrow \mu_{P1} \approx \Delta\mu$$

$$\Rightarrow R = \frac{h}{2e^2M} \frac{1}{T}$$

$$\Rightarrow \boxed{\frac{1 - 2T}{T} \frac{h}{2e^2M} < R < \frac{1}{T} \frac{h}{2e^2M}}$$

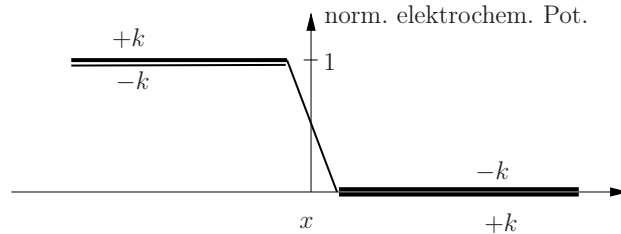
Kein Problem für makroskopische Leiter:

$$\text{früher (2.2) } T = \frac{L_m}{L + L_m} \ll 1 \text{ für } L \gg L_m$$

$\Rightarrow R$ konvergiert für $L \gg L_m$, aber schlecht meßbar für $L \approx L_m!$

- Interferenzeffekte! bisher vernachlässigt

sei $T \ll 1$, starke Streuung



μ (vor Streuer) $\approx \mu_1$

(Interferenz \Rightarrow jeder Wert zwischen 0...1 möglich, abhängig
stehende Wellen) \Rightarrow von Abstand zum Streuer!

\Rightarrow Widerstandsmessung nur möglich für

- kurze Phasenrelaxationslänge $L_\varphi \ll L$
oder
- Mittelwertbildung über λ
oder
- direktionale Koppler (koppeln an $+k, -k$ separat)

Büttiker (1988)

verallgemeinert 2-Terminal-Beziehung (2.3)

$$I = \frac{2e}{h} \bar{T} (\mu_1 - \mu_2) \quad \text{mit } \bar{T} = TM : \text{ Transmissionsfunktion}$$

für viele Terminale (indiziert bei p, q)

$$I_p = \frac{2e}{h} \sum_q \{ \bar{T}_{q \leftarrow p} \mu_p - \bar{T}_{p \leftarrow q} \mu_q \}$$

mit $G_{pq} \equiv \frac{2e^2}{h} \bar{T}_{p \leftarrow q}$, $V = \frac{\mu}{e}$ folgt

$$I_p = \sum_q G_{qp} V_p - G_{pq} V_q$$

Annahme: $V_p = V_q \quad \forall p, q \stackrel{!}{\Rightarrow} I = 0$

$$\stackrel{!}{\Rightarrow} \text{Summenregel } \sum_q G_{qp} = \sum_q G_{pq}$$

damit

$$I_P = \sum_q G_{pq}(V_p - V_q)$$

Ohne Beweis: $(G_{pq})_{+B} = (G_{qp})_{-B}$

mit B : mag. Feld (Beweis für Spezialfall später in (3.1))
(exp. bisher immer bestätigt, kein allgemein gültiger Grund)

Bemerkungen:

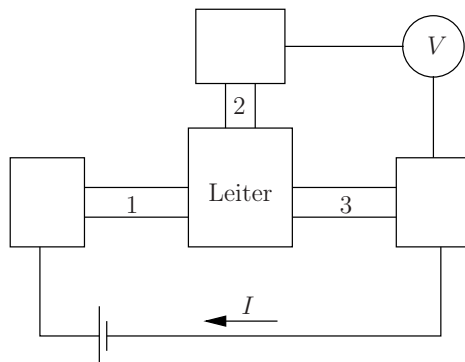
- $I_p = 0$

$$\Rightarrow V_p = \frac{\sum_{q \neq p} G_{pq} V_q}{\sum_{q \neq p} G_{pq}}$$

gewichteter Durchschnitt aller Terminale
- $B = 0 \Rightarrow G_{pq} = G_{qp}$

d.h. Büttiker $\hat{=}$ Kirchhoff

3-Terminal-Messung:



$$R_{3t} = \frac{V}{I}?$$

starten von $I_p = \sum_q G_{pq}(V_p - V_q)$

$$\begin{aligned} I_1 &= G_{12}(V_1 - V_2) + G_{13}(V_1 - V_3) \\ I_2 &= G_{21}(V_2 - V_1) + G_{23}(V_2 - V_3) \\ I_3 &= G_{31}(V_3 - V_1) + G_{32}(V_3 - V_2) \end{aligned}$$

$$\begin{pmatrix} I_1 \\ I_2 \\ I_3 \end{pmatrix} = \begin{pmatrix} G_{12} + G_{13} & -G_{12} & -G_{13} \\ -G_{21} + G_{13} & G_{21} + G_{23} & -G_{23} \\ -G_{31} + G_{13} & -G_{32} & G_{31} + G_{32} \end{pmatrix} \begin{pmatrix} V_1 \\ V_2 \\ V_3 \end{pmatrix}$$

Nur Spannungsdifferenzen relevant \rightarrow o.B.d.A. $V_3 = 0$

$$\begin{aligned} \Rightarrow \begin{pmatrix} I_1 \\ I_2 \end{pmatrix} &= \begin{pmatrix} G_{12} + G_{13} & -G_{12} \\ -G_{21} & G_{21} + G_{23} \end{pmatrix} \begin{pmatrix} V_1 \\ V_2 \end{pmatrix} \\ \Leftrightarrow \begin{pmatrix} V_1 \\ V_2 \end{pmatrix} &= \begin{pmatrix} R_{11} & R_{12} \\ R_{21} & R_{22} \end{pmatrix} \begin{pmatrix} I_1 \\ I_2 \end{pmatrix} \end{aligned}$$

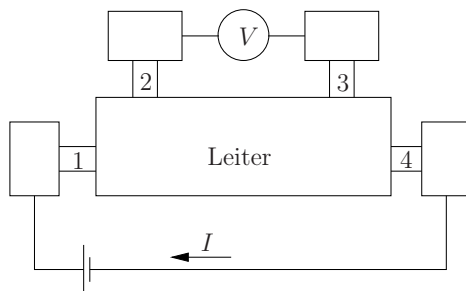
mit

$$[R] = \begin{pmatrix} G_{12} + G_{13} & -G_{12} \\ -G_{21} & G_{21} + G_{23} \end{pmatrix}^{-1}$$

damit

$$\begin{aligned} R_{3t} = \frac{V}{I} &= \left(\frac{V_2}{I_1} \right)_{I_2=0} = R_{21} \\ &= \frac{G_{12}}{G_{13}G_{21} + G_{12}G_{23} + G_{13}G_{23}} \end{aligned}$$

4-Terminal-Messung



$$R_{4t} = \frac{V}{I}?$$

o.B.d.A. $V_4 = 0$

$$\begin{pmatrix} I_1 \\ I_2 \\ I_3 \end{pmatrix} = \begin{pmatrix} G_{12} + G_{13} + G_{14} & -G_{12} & -G_{13} \\ -G_{21} + G_{13} & G_{21} + G_{23} + G_{24} & -G_{23} \\ -G_{31} + G_{13} & -G_{32} & G_{31} + G_{32} + G_{34} \end{pmatrix} \begin{pmatrix} V_1 \\ V_2 \\ V_3 \end{pmatrix}$$

invertieren

$$\begin{pmatrix} V_1 \\ V_2 \\ V_3 \end{pmatrix} = \begin{pmatrix} R_{11} & R_{12} & R_{13} \\ R_{21} & R_{22} & R_{23} \\ R_{31} & R_{32} & R_{33} \end{pmatrix} \begin{pmatrix} I_1 \\ I_2 \\ I_3 \end{pmatrix}$$

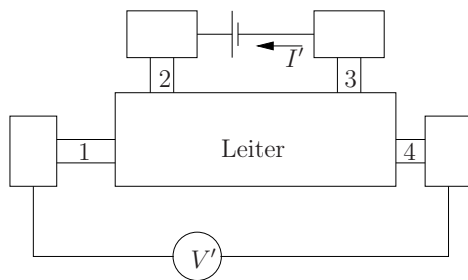
mit

$$[R] = [G]^{-1}$$

damit

$$R_{4t} = \left(\frac{V_2 - V_3}{I_1} \right)_{I_2=I_3=0} = R_{21} - R_{31}$$

andere Meßanordnung



$$R'_{4t} = \frac{V'}{I'} = \left(\frac{V_1}{I_2} \right)_{I_1=0, I_2=-I_3} = R_{12} - R_{13}$$

jetzt mit \bar{B} - Feld:

früher $(G_{qp})_{+B} = (G_{pq})_{-B}$

$$\Rightarrow [R^{-1}]_{+B} = [R^{-1}]_{-B}^T$$

mit $[R^{-1}]^T = [R^T]^{-1}$ folgt

$$[R]_{+B} = [R]_{-B}^T$$

$$\Rightarrow R_{4t}(+B) = R_{21} - R_{31} \Big|_{+B} = R_{12} - R_{13} \Big|_{-B} = R'_{4t}(-B)$$

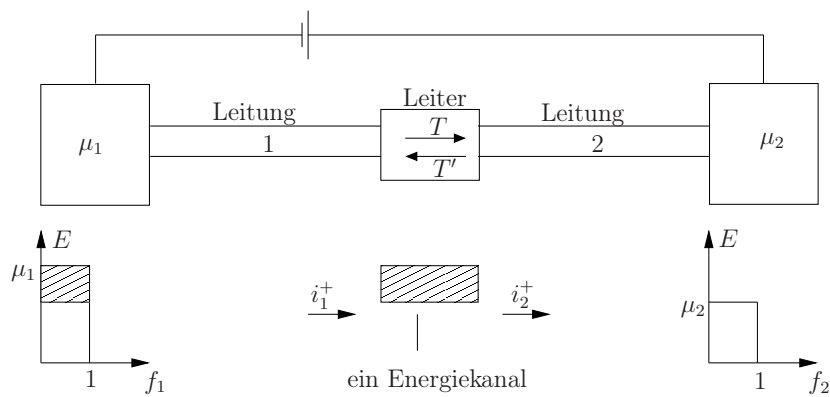
exp. bestätigt von Benoit et. al. PRL 57, 1765 (1986); siehe auch Webb & Washburn, Physics Today, 41, 52 (1988)

2.5. Endliche Temperaturen und Spannungen

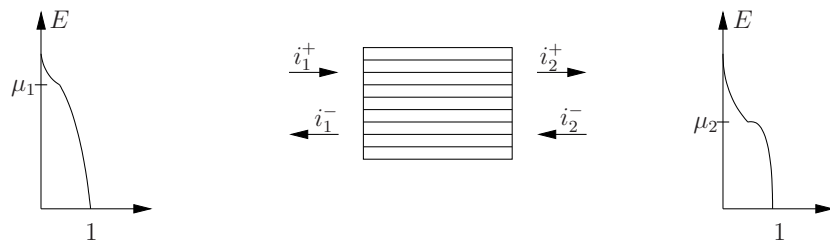
bisher $T = 0$, Strom getragen von einem einzelnen Energiekanal am Fermi-Niveau

$$\Rightarrow I = \frac{2e}{h} \bar{T} (\mu_1 - \mu_2) \text{ mit}$$

$$\bar{T} = M \cdot T = \text{const. für } \mu_2 < E < \mu_1$$



realistischer: Transport durch viele Kanäle:



Ein- und Ausfluß in Leiter durch Zuleitungen;
 $i(E)$: Stromverteilungsfunktion (vgl. (2.3))

$$\left. \begin{aligned} i_1^+(E) &= \frac{2e}{h} M f_1(E) & M : \# & \text{ Moden in 1} \\ i_2^-(E) &= \frac{2e}{h} M' f_2(E) & M' : \# & \text{ Moden in 2} \end{aligned} \right\} **$$

$$\begin{aligned} i_2^+(E) &= T i_1^+(E) + (1 - T') i_2^-(E) \\ i_1^-(E) &= (1 - T) i_1^+(E) + T' i_2^-(E) \quad * \end{aligned}$$

$$\begin{aligned} \text{Nettostrom } i(E) &= i_1^+ - i_1^- = i_2^+ - i_2^- \\ &\stackrel{*}{=} T i_1^+ - T' i_2^- \\ &\stackrel{**}{=} \frac{2e}{h} [M(E)T(E)f_1(E) - M'(E)T'(E)f_2(E)] \end{aligned}$$

mit Transmissionsfunktion $\bar{T}(E) = M(E)T(E)$ folgt

$$i(E) = \frac{2e}{h} [\bar{T}(E)f_1(E) - \bar{T}'(E)f_2(E)]$$

Gesamtstrom:

$$I = \int i(E) dE$$

Annahme: $\bar{T}(E) = \bar{T}'(E)$ (sinnvoll damit $i(E) = 0$ für $f_1(E) = f_2(E)$)

$$\Rightarrow I = \frac{2e}{h} \int \bar{T}(E) [f_1(E) - f_2(E)] dE$$

Variation

$$\delta I = \frac{2e}{h} \int \bar{T}(E) \delta [f_1 - f_2] dE$$

für kleinere Spannungen

$$\delta [f_1 - f_2] \approx \left. \frac{\partial f}{\partial \mu} \right|_{\mu=E_F} (\mu_1 - \mu_2) = - \frac{\partial f_0}{\partial E} (\mu_1 - \mu_2)$$

$$f_0 = \left. \frac{1}{e^{\frac{E-\mu}{kT}} + 1} \right|_{\mu=E_F}$$

$$\Rightarrow G = \frac{\delta I}{(\mu_1 - \mu_2)/e} = \frac{2e^2}{h} \int \bar{T}(E) \left(- \frac{\partial f_0}{\partial E} \right) dE = \text{const.}$$

linearer Response für kleine Spannungen

$$\begin{aligned} T \rightarrow 0 &\Rightarrow f_0(E) \rightarrow \theta(E_F - E) \\ &\Rightarrow - \frac{\partial f_0}{\partial E} \rightarrow \delta(E_F - E) \\ &\Rightarrow G \rightarrow \frac{2e^2}{h} \bar{T}(E_F) \end{aligned}$$

Voraussetzung für linearen Response für $T \neq 0$:

- $\bar{T}(E) \approx const.$ für transportrelevanten Energiebereich

$$\mu_1 + kT \gtrsim E \gtrsim \mu_2 - kT$$

gilt i.allg. für $\mu_1 - \mu_2 \ll kT$

(hinreichend, aber nicht notwendig, weil sonst kein lin. Response für $T = 0$)

Sei $\bar{T}(E) = \bar{T}(E_F)$

$$\Rightarrow I = \frac{2e}{h} \bar{T}(E_F) \int [f_1(E) - f_2(E)] dE$$

$$\boxed{I = \frac{2e}{h} \bar{T}(E_F) [\mu_1 - \mu_2]}$$

d.h. $T = 0$ Response für $T > 0$

Verallgemeinerung auf viele Terminale

$$I_p = \int i_p(E) dE \text{ mit}$$

$$i_p(E) = \frac{2e}{h} \sum_q \{ \bar{T}_{qp}(E) f_p(E) - \bar{T}_{pq}(E) f_q(E) \}$$

\uparrow Fermifunktion von Terminal q
 \downarrow Gesamttransmission von Terminal q zu Terminal p bei Energie E

$$i_p \stackrel{!}{=} 0 \text{ für } f_p(E) = f_q(E) \Rightarrow \sum_q \bar{T}_{qp}(E) = \sum_q \bar{T}_{pq}(E)$$

(gilt nur falls keine inelast. Streuung zwischen Energiekanälen erfolgt)

$$\Rightarrow i_p(E) = \frac{2e}{h} \sum_q \bar{T}_{pq} \{ f_p(E) - f_q(E) \}$$

$$\text{mit } G_{pq} = \frac{2e^2}{h} \int \bar{T}_{pq}(E) \left(-\frac{\partial f_0}{\partial E} \right) dE \xrightarrow{T \rightarrow 0} \frac{2e^2}{h} \bar{T}_{pq}(E_F)$$

$$\boxed{I_p = \sum_q G_{pq} [V_p - V_q]}$$

2.6. Pauli-Prinzip

Problem: Was ist richtig

$$\begin{aligned}
 i_p(E) &= \frac{2e}{h} \sum_q \{ \bar{T}_{qp}(E) f_p(E) - \bar{T}_{pq}(E) f_q(E) \} \\
 &\text{oder} \\
 i_p(E) &= \frac{2e}{h} \sum_q \{ \bar{T}_{qp}(E) f_p(1 - f_q) - \bar{T}_{pq}(E) f_q(1 - f_p) \} \\
 &= \frac{2e}{h} \sum_q \left\{ [\bar{T}_{qp} f_p - \bar{T}_{pq} f_q] - \underbrace{[\bar{T}_{qp} - \bar{T}_{pq}] f_p f_q}_{\substack{\text{Extraterm berücksichtigt} \\ \text{Pauli-Prinzip}}} \right\} ?
 \end{aligned}$$

2-Terminalmessung, keine inelastische Streuung

$$\Rightarrow \bar{T}_{12} = \bar{T}_{21} \Rightarrow \text{Extraterm fällt weg}$$

Annahmen, die Pauli-Extraterm rechtfertigen würden:

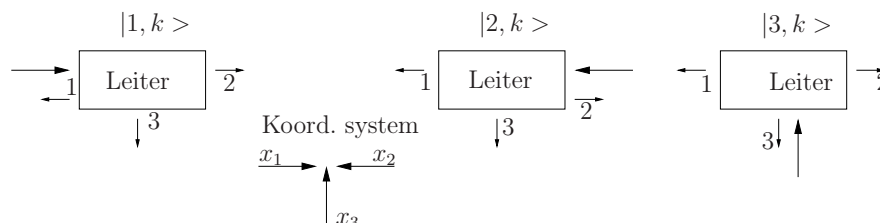
- Strom entsteht durch Übergänge von einem elektr. Zustand in Zuleitung p in elektr. Zustand in Zuleitung q

$$|p, k \rangle \rightarrow |q, k' \rangle$$

- Übergänge blockiert, wenn finaler Zustand bereits besetzt ist

Bild nur korrekt für schwache Kopplung zwischen Zuleitungen und Leiter!

Starke Kopplung gibt Anlaß zu Streuzuständen, bestehend aus einfallender Welle in Zuleitung q und gestreuten Welle in allen anderen Zuleitungen p :



o.B.d.A. nur eine transversale Mode pro Zuleitung
Streuzustand $|q, k \rangle$ gibt Anlaß zu

→ Wellenfunktion in Zuleitung p

$$\psi_p(q) = \delta_{pq} \chi_p^+(y_p) e^{ik^+ x_p} + s'_{pq} \chi_p^-(y_p) e^{ik^- x_p}$$

\downarrow
 einfallende
Welle

\downarrow
 gestreute
Welle

kein B -Feld: $\chi_p^+ = \chi_p^-$, $k^- = -k^+$

Wenn Wellenfunktion besetzt ist, gibt sie Anlaß zur Stromverteilungsfunktion

$$i_p(q) = \frac{2e}{h} (\delta_{pq} - T_{pq}) \quad *$$

\downarrow
 einfallende
Welle

\downarrow
 gestreute
Welle

$|q, k\rangle$ ist besetzt entsprechend der Fermiverteilung in Kontakt q

$$\Rightarrow I_p = \int \sum_q f_q(E) i_p(q) dE$$

$$I_p = \frac{2e}{h} \int \left[f_p - \sum_q \overset{\downarrow *}{T_{pq}} f_q \right] dE$$

für kohärenten Transport gilt

$$\sum_q T_{pq} = \sum_q T_{qp} = 1$$

(Beweis: später, 3.1)

$$\Rightarrow I_p = \frac{2e}{h} \int \left[\sum_q T_{pq} (f_p - f_q) \right] dE$$

$$= \frac{2e}{h} \int \left[\sum_q T_{qp} f_p - T_{pq} f_q \right] dE$$

Verallgemeinerung auf mehrere Moden in jeder Zuleitung: Summieren über Übergangswahrscheinlichkeiten

Mode m in $p - T_{mn} \longrightarrow$ Mode n in q ,

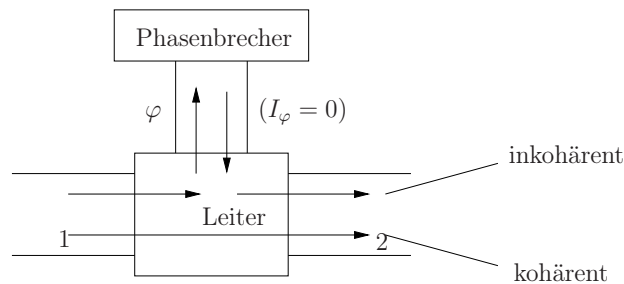
$$\text{d.h. } \bar{T}_{pq} = \sum_{m \in p} \sum_{n \in q} T_{mn}$$

$$\Rightarrow I_p = \frac{2e}{h} \int dE \sum_q \{ \bar{T}_{qp}(E) f_p(E) - \bar{T}_{pq}(E) f_q(E) \}$$

\Rightarrow Für kohärenten Transport kein Extraterm für Pauli-Prinzip!

Nichtkohärenter Transport

bauen Phasenbrecher ein:



Strom besteht aus kohärenten und inkohärenten Anteil

$$i_p(E) = \frac{2e}{h} \sum_q \bar{T}_{pq}(E) [f_p(E) - f_q(E)] + \frac{2e}{h} \bar{T}_{p\varphi}(E) [f_p(E) - f_\varphi(E)]$$

↓
Im Zweiterminalausdruck fällt Extraterm weg

Strom am Phasenbrecher

$$i_\varphi(E) = \frac{2e}{h} \sum_q \bar{T}_{\varphi q}(E) [f_\varphi(E) - f_q(E)]$$

$$\Rightarrow f_\varphi = \frac{1}{\sum_q \bar{T}_{\varphi q}} \left\{ i_\varphi + \sum_q \bar{T}_{\varphi q} f_q \right\}$$

$$i_p = \frac{2e}{h} \sum_q \bar{T}_{pq} [f_p - f_q] + \frac{2e}{h} \bar{T}_{p\varphi} \left[f_p - \frac{i_\varphi + \sum_q \bar{T}_{\varphi q} f_q}{\sum_q \bar{T}_{\varphi q}} \right]$$

$$i_p = \frac{2e}{h} \sum_q \left\{ \bar{T}_{pq} + \frac{\bar{T}_{p\varphi} \bar{T}_{\varphi q}}{\sum_q \bar{T}_{\varphi q}} \right\} f_p \quad \left(\text{mit } \frac{\sum_q \bar{T}_{\varphi q}}{\sum_q \bar{T}_{\varphi q}} \text{ erweitert} \right)$$

$$- \frac{2e}{h} \sum_q \left\{ \bar{T}_{pq} + \frac{\bar{T}_{p\varphi} \bar{T}_{\varphi q}}{\sum_q \bar{T}_{\varphi q}} \right\} f_q - \frac{2e}{h} \frac{\bar{T}_{p\varphi}}{\sum_q \bar{T}_{\varphi q}} \cdot i_\varphi$$

$$\text{mit } \left\{ \bar{T}_{pq} + \frac{\bar{T}_{p\varphi} \bar{T}_{\varphi q}}{\sum_q \bar{T}_{\varphi q}} \right\} \equiv \tilde{T}_{pq} \text{ folgt}$$

$$i_p = \frac{2e}{h} \sum_q \tilde{T}_{pq} [f_p - f_q] - \frac{2e}{h} \frac{\bar{T}_{p\varphi}}{\sum_q \bar{T}_{\varphi q}} \cdot i_\varphi$$

d.h. für $i_\varphi(E) = 0 \Rightarrow$ kein Extra-Pauliterm

Problem:

$$I_\varphi = \int i_\varphi(E) dE = 0 \quad \not\Rightarrow \quad i_\varphi(e) = 0$$

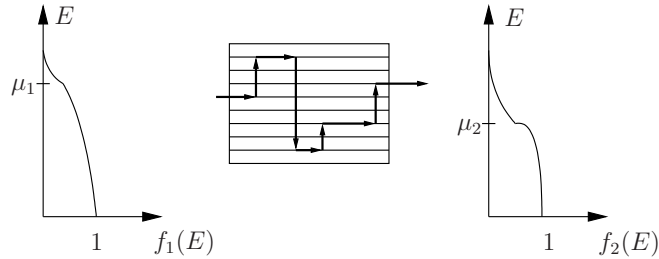
Streuung führt i.a. zur Umverteilung von Elektronen zwischen Energiekanälen, d.h. "vertikalen Fluß"

$i_\varphi(E)$ bestimmt durch mikroskopische Theorie (später), einfaches Einsetzen von Fermi-Blockierungsfaktoren sowieso nicht ausreichend

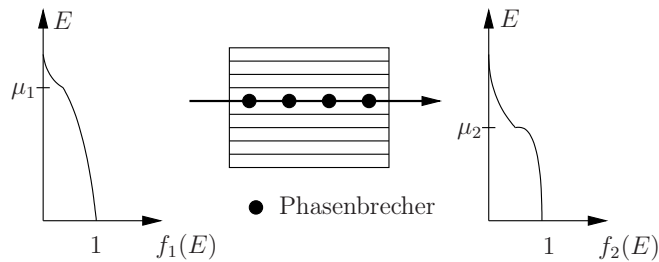
→ Im folgenden vernachlässigen wir vertikale Ströme, d.h. $i_\varphi(E) = 0$

→ Nichtkohärenter, elastischer Transport

typischer Transport durch Leiter mit $L \gg L_\varphi$



- ⇒ zahlreiche Fermi-Blockierungsfaktoren spielen eine Rolle, keine einfache Berechnung möglich
- ⇒ vereinfachende Annahme: keine Netto-Beitrag zum vertikalen Strom,
 $\forall e^- : E_1 \rightarrow E_2 \exists e^- : E_2 \rightarrow E_1$
 "nichtkohärenter, elastischer Transport"



oft sehr gute Approximation, früher (2.3): können Widerstand mittels elast. Streuung verstehen

Wie gut ist die Approximation? Beispiele.

- Annahme: $\bar{T}(E) = const.$ für transportrelevanten Bereich, d.h. für $\mu_1 + k_B T > E > \mu_2 - k_B T$
 ⇒ alle Kanäle leiten gleich gut
 ⇒ vertikale Ströme haben keinen Einfluß auf Nettostrom:

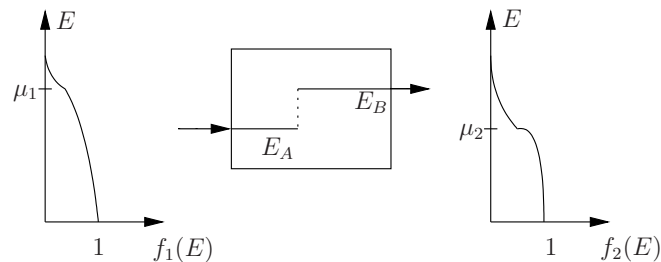
$$\frac{2e}{h} \int \frac{\bar{T}_{p\varphi}(E)}{\sum_q \bar{T}_{\varphi q}(E)} i_\varphi(E) dE \quad \text{Extra-Pauliterm}$$

$$\downarrow$$

$$\frac{2e}{h} \frac{\bar{T}_{p\varphi}}{\sum_q \bar{T}_{\varphi q}} \underbrace{\int i_\varphi(E) dE}_{=0} = 0$$

Achtung $\nRightarrow \int E i_\varphi(E) dE = 0$, d.h. Einfluß auf Energiedissipation durch vertikale Ströme

- Annahme: zwei energetisch und räumlich getrennte Energiekanäle im Leiter



\Rightarrow Stromfluß nur unter Hinzunahme inelast. Streuung (z.B. Phononen)!

- letzteres Beispiel ist nicht akademisch, siehe Glühemission, dort ist der gemessene Strom größer als man von der Austrittsbarriere erwarten sollte (Lake, Datta PRB **46** 4757 (1992))
- Abkühlung der linken Seite des Leiters \rightarrow analog zum makroskop. Peltier-Effekt \Rightarrow vertikale Ströme oft aber nicht immer vernachlässigbar

Zusammenfassung Landauer-Büttiker-Formalismus

$I_p = \int i_p(E) dE$ mit Stromverteilungsfunktion (Strom zu Terminal p)

$i_p(E) = \frac{2e}{h} \sum_q \bar{T}_{pq}(E) [f_p(E) - f_q(E)]$ mit

$f_p = \left(e^{\frac{E - \mu_p}{kT}} + 1 \right)^{-1}$: Fermifunktion für Terminal p

darin steckt

Summenregel $\sum_q \bar{T}_{qp}(E) = \sum_q \bar{T}_{pq}(E)$

(Beweis in (3.1)) (aus Kirchhoffschen Regel)

für kleine Spannungen, d.h.

$$\mu_1 - \mu_2 = \Delta\mu \ll \varepsilon_c + kT \quad \text{mit } \varepsilon_c : \text{Energiebereich konst. Transmission}$$

$$\text{gilt } I_p = \sum_q G_{pq} [V_p - V_q]$$

$$\text{mit } V_p = \frac{\mu_p}{e} \text{ und}$$

$$G_{pq} = \frac{2e^2}{h} \int \bar{T}_{pq}(E) \left(-\frac{\partial f_0}{\partial E} \right) dE$$

für $kT \ll \varepsilon_c$

$$G_{pq} = \frac{2e^2}{h} \bar{T}_{pq}(E_F)$$

gültig für

- kohärenten Transport
- nichtkohärenten, elast. Transport

approximativ für vertikale Ströme (inelast. Transport)

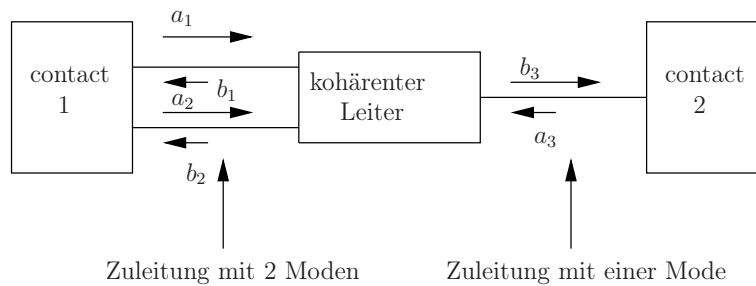
3. Berechnung der Transmissionsfunktion

3.1. S-Matrix (für kohärenten Transport)

Landauer-Büttiker: Strom zu Terminal p (2.5)

$$I_p = \int i_p(E) dE \quad \text{mit} \quad i_p(E) = \frac{2e}{h} \sum_q \bar{T}_{pq}(E) [f_p(E) - f_q(E)]$$

betrachten kohärenten Leiter



a, b : ein-, auslaufende Wellenamplituden

Streumatrix definiert durch

$$\begin{pmatrix} b_1 \\ b_2 \\ b_3 \end{pmatrix} = \begin{pmatrix} S_{11} & S_{12} & S_{13} \\ S_{21} & S_{22} & S_{23} \\ S_{31} & S_{32} & S_{33} \end{pmatrix} \begin{pmatrix} a_1 \\ a_2 \\ a_3 \end{pmatrix}$$

Gesamtzahl der propagierenden

$$M_T(E) = \sum_p M_p(E)$$

Moden mit Energie E

mit M_p : Anzahl von Moden mit E in Terminal p

$$\text{rang}(S) = M_T(E)$$

S berechnet aus EMA-Gleichung (1.2)

$$\left\{ E_s + \frac{(i\hbar\nabla + eA)^2}{2m} + U(x, y) \right\} \psi(x, y) = E\psi(x, y)$$

(Beispiele später), damit Transmission zwischen zwei Moden

$$T_{m \leftarrow n} = |S_{m \leftarrow n}|^2, \quad \text{dann Summation über alle Moden in Terminals } q, p$$

$$\bar{T}_{p \leftarrow q} = \sum_{m \in q} \sum_{n \in p} T_{n \leftarrow m}$$

Stromerhaltung fordert (d.h. kann nicht mehr Strom raus als rein)

$$\sum_m |a_m|^2 = \sum_m |b_m|^2, \quad \text{d.h.}$$

$$\begin{aligned} \langle a|a \rangle &= \langle b|b \rangle && \text{mit } |b \rangle = S|a \rangle \\ \langle a|a \rangle &= \langle a|S^+S|a \rangle && (S^+ : \text{konjugiert transponiert}) \end{aligned}$$

$$\Rightarrow S^+S = I \quad \Rightarrow S^+ = S^{-1}$$

S unitäre Matrix

$$\Rightarrow \sum_{m=1}^{M_T} |S_{mn}|^2 = \sum_{m=1}^{M_T} |S_{nm}|^2 = 1$$

(klar, e^- was in n eingeht, muß nirgendwo wieder rauskommen)

daraus Summenregeln für Transmission

$$\sum_q \bar{T}_{qp} = \sum_{n \in p} \sum_{m=1}^{M_T} T_{mn} = \sum_{n \in p} \sum_{m=1}^{M_T} |S_{mn}|^2 = \sum_{n \in p} 1 = M_p$$

\uparrow (Transmission von p in alle q)
 \uparrow \forall einfallende Amplituden in Terminal p
 \swarrow \forall insgesamt ausfallenden Amplituden (p einschließlich)
 \uparrow Moden in p

(Umsortieren der Summe)

$$\longrightarrow \text{für kohärenten Transport: } \sum_q \bar{T}_{pq} = \sum_q \bar{T}_{qp} \text{ (früher, in (2.5) benutzt)}$$

$$\longrightarrow \sum_q \bar{T}_{pq}(E) = \sum_q \bar{T}_{qp}(E) = M_p(E)$$

Bsp.:

- 3-Terminal-Anordnung:

$$\bar{T}_{pq}(E) \rightarrow 3 \times 3 - \text{Matrix}$$

$$\bar{T}_{pq}(E) : \begin{array}{ccc|c} & q = 1 & 2 & 3 & \\ p = 1 & x & x & x & \sum = M_1 \\ & 2 & x & x & M_2 \\ & 3 & x & x & M_3 \\ \sum = & M_1 & M_2 & M_3 & \end{array}$$

M_1 : # Moden in Terminal 1

- 2-Terminals:

$$\begin{aligned}\bar{T}_{11} + \bar{T}_{12} &= M_1 = \bar{T}_{11} + \bar{T}_{21} \\ \Rightarrow \bar{T}_{12} &= \bar{T}_{21}\end{aligned}$$

d.h. für 2-Terminals-Anordnung symmetrische Transmission, unabhängig von B-Feld

früher (2.5)
$$G_{pq} = \frac{2e^2}{h} \int \bar{T}_{pq}(E) \left(-\frac{\partial f_0}{\partial E} \right) dE$$

$\downarrow T \rightarrow 0$

$$\frac{2e^2}{h} \bar{T}_{pq}(E_f)$$

\Rightarrow damit Summenregel für Leitwertmatrix

$$\sum_q G_{pq} = \sum_q G_{qp} = \frac{2e^2}{h} M_p(E_f)$$

Einfluß des B-Feldes auf S-Matrix?

Sei EMA-Gl.:

$$\left\{ E_S + \frac{(i\hbar\nabla + eA)^2}{2m} + U(x, y) \right\} \psi(x, y) = E\psi(x, y)$$

gelöst, betrachten konj. komplexe Gleichung

$$\left\{ E_S + \frac{(-i\hbar\nabla + eA)^2}{2m} + U(x, y) \right\} \psi^*(x, y) = E\psi^*(x, y)$$

invertieren B-Feld: $B \rightarrow -B \Rightarrow A \rightarrow -A$

$$\left\{ E_S + \frac{(i\hbar\nabla + eA)^2}{2m} + U(x, y) \right\} \psi^*(x, y) = E\psi^*(x, y)$$

$$\Rightarrow \psi^*(x, y)|_{-B} = \psi(x, y)|_B$$

betrachten Streumatrix S :

$$|b\rangle = S(B)|a\rangle \iff |b^*\rangle = S^*(B)|a^*\rangle$$

$S^{(1)}$ bestimmt durch

$$\begin{pmatrix} b_{13} \\ b_5 \end{pmatrix} = \begin{pmatrix} r^{(1)} & t'^{(1)} \\ t^{(1)} & r'^{(1)} \end{pmatrix} \begin{pmatrix} a_{13} \\ a_5 \end{pmatrix}$$

mit a_{13}/b_{13} Vektoren mit ein-/auslaufenden Wellenamplituden aller Moden in der Terminals 1 und 3

r, r' : Reflexionsamplituden

t, t' : Transmissionsamplituden

analog:

$$\begin{pmatrix} a_5 \\ b_{24} \end{pmatrix} = \begin{pmatrix} r^{(2)} & t'^{(2)} \\ t^{(2)} & r'^{(2)} \end{pmatrix} \begin{pmatrix} b_5 \\ a_{24} \end{pmatrix} \quad \text{für } S^{(2)}$$

(Rolle von a_5, b_5 vertauscht bez. $S^{(1)}$)

eliminieren $a_5, b_5 \Rightarrow$ S-Matrix für 4-Terminals

$$\begin{pmatrix} b_{13} \\ b_{24} \end{pmatrix} = \begin{pmatrix} r & t' \\ t & r' \end{pmatrix} \begin{pmatrix} a_{13} \\ a_{24} \end{pmatrix}$$

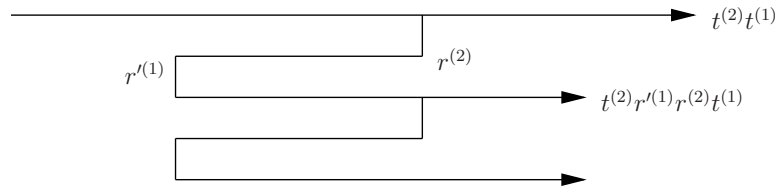
mit

$$\begin{aligned} t &= t^{(2)}[I - r'^{(1)}r^{(2)}]^{-1}t^{(1)} \\ r &= r^{(1)} + t'^{(1)}r^{(2)}[I - r'^{(1)}r^{(2)}]^{-1}t^{(1)} \\ t' &= t'^{(1)}[I - r^{(2)}r'^{(1)}]^{-1}t'^{(2)} \\ r' &= r'^{(2)} + t^{(2)}[I - r'^{(1)}r^{(2)}]^{-1}r'^{(1)}t'^{(2)} \end{aligned}$$

Interpretation? Reihenentwicklung $\left(\frac{1}{1-x} = 1 + x + x^2 + \dots \right)$

$$\begin{aligned} t &= t^{(2)}[I - r'^{(1)}r^{(2)}]^{-1}t^{(1)} \\ &= t^{(2)}t^{(1)} + t^{(2)}[r'^{(1)}r^{(2)}]t^{(1)} + t^{(2)}[r'^{(1)}r^{(2)}]^2t^{(1)} + \dots \end{aligned}$$

(Erinnerung: 2.2 Landauer-Gleichung)



Multiple Reflexionen

obige Betrachtung korrekt für kohärenten Transport
wenn einzelne Sektionen deutlich größer als Phasenrelaxationslänge ($L \gg L_\varphi$)
→ inkohärenter Transport

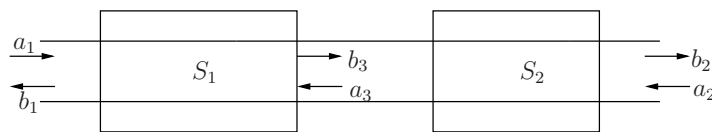
- ⇒ kombinieren ein- und ausfallende Wahrscheinlichkeiten anstelle der Amplituden
- ⇒ betrachten Wahrscheinlichkeiten anstelle von S-Matrizen

$$\bar{S}_{mn} = |S_{mn}|^2$$

↑
↙
 Wahrscheinlichkeitsmatrix Strommatrix

Beispiel: 2 Streuer in einmodigem Leiter

$$S_1 = \begin{pmatrix} r_1 & t'_1 \\ t_1 & r'_1 \end{pmatrix} \quad S_2 = \begin{pmatrix} r_2 & t'_2 \\ t_2 & r'_2 \end{pmatrix}$$



$$\begin{pmatrix} b_1 \\ b_3 \end{pmatrix} = \begin{pmatrix} r_1 & t'_1 \\ t_1 & r'_1 \end{pmatrix} \begin{pmatrix} a_1 \\ a_3 \end{pmatrix} \Rightarrow \quad b_3 = t_1 a_1 + r'_1 a_3$$

$$\begin{pmatrix} a_3 \\ b_2 \end{pmatrix} = \begin{pmatrix} r_2 & t'_2 \\ t_2 & r'_2 \end{pmatrix} \begin{pmatrix} b_3 \\ a_2 \end{pmatrix} \Rightarrow \quad a_3 = r_2 b_3 + t'_2 a_2$$

$$b_3(1 - r'_1 r_2) = t_1 a_1 + r'_1 t'_2 a_2$$

$$\Rightarrow b_2 = t_2 b_3 + r_2' a_2$$

$$b_2 = \frac{t_1 t_2 a_1 + r_1' t_2 t_2' a_2}{1 - r_1' r_2} + r_2' a_2$$

$$\Rightarrow \boxed{t = \frac{b_2}{a_1} = \frac{t_1 t_2}{1 - r_1' r_2}} \text{ analog andere Elemente für S-Matrix}$$

$$\boxed{T = |t|^2 = \frac{T_1 T_2}{1 - 2\sqrt{R_1 R_2} \cos \Theta + R_1 R_2}}$$

Kohärenter Transport, $\Theta = \Theta(r_1) + \Theta(r_2)$

(einfach übertragen!)

analoge Rechnung für

$$\left. \begin{aligned} \bar{S}_1 &= \begin{pmatrix} R_1 & T_1 \\ T_1 & R_1 \end{pmatrix} \\ \bar{S}_2 &= \begin{pmatrix} R_2 & T_2 \\ T_2 & R_2 \end{pmatrix} \end{aligned} \right\} \boxed{T = \frac{T_1 T_2}{1 - R_1 R_2} \text{ inkohärenter Transport}}$$

3.2. Greensche Funktionen

allgemein: $DR = S$ S : Anregung
 R : Response
 D : Differentialoperator

$$\Rightarrow R = D^{-1}S$$

$D^{-1} \equiv G$: Greensche Funktion

Bsp.: 1-D Draht, $U = U_0$, $\bar{A} = 0$

$$G = [E - H]^{-1} = \left[E - U_0 + \frac{\hbar^2}{2m} \frac{\partial^2}{\partial x^2} \right]^{-1}$$

\Leftrightarrow

$$\left(E - U_0 + \frac{\hbar^2}{2m} \frac{\partial^2}{\partial x^2} \right) G(x, x') = \delta(x - x')$$

abgesehen vom Quellterm $\delta(x - x')$ sehr ähnlich zu normaler SG

⇒ Ansatz: Wellen die vom Punkt der Erregung weglaufen;

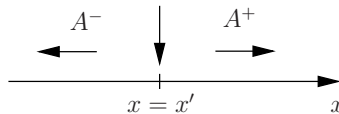
$$G(x, x') = \begin{cases} A^+ e^{ik(x-x')} & x > x' \\ A^- e^{-ik(x-x')} & x < x' \end{cases}$$

einsetzen für $x \neq x'$ ⇒ $k = \sqrt{\frac{2m(E-U)}{\hbar^2}}$

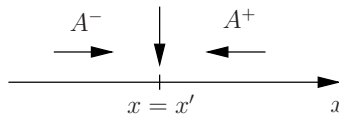
Stetigkeit an $x = x'$ ⇒ $A^+ = A^- = A$

Integration über $x = x'$ ⇒ $\frac{\partial G}{\partial x} \Big|_{x=x'+} - \frac{\partial G}{\partial x} \Big|_{x=x'-} = \frac{2m}{\hbar^2}$
 ⇒ $A = -\frac{i}{\hbar v}$ mit $v = \frac{\hbar k}{m}$

$$\Rightarrow \boxed{G^R(x, x') = -\frac{i}{\hbar v} e^{ik|x-x'|} \text{ retardierte GF}}$$



Es existiert noch eine weitere Lösung, einlaufende Wellen:



$$\boxed{G^A(x, x') = -\frac{i}{\hbar v} e^{-ik|x-x'|} \text{ avancierte GF}}$$

Um Polstellen in der Spektraldarstellung zu vermindern wird i.all. kleiner Imaginärteil addiert:

$$\left(E - U_0 + \frac{\hbar^2}{2m} \frac{\partial^2}{\partial x^2} + i\eta \right) G^R(x, x') = \delta(x, x')$$

$$\Rightarrow k' = \sqrt{\frac{2m(E + i\eta - U_0)}{\hbar^2}} \approx k + i\delta$$

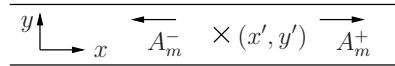
mit $\delta = \frac{\eta}{2(E - U_0)}$

$\Rightarrow G^A$ wächst exp. für $\eta > 0 \Rightarrow$ keine Lösung
Umgekehrt für $\eta < 0$

allgemeine Definitionen

$$\boxed{\begin{aligned} G^R &= [E - H + i\eta]^{-1} \quad \eta \rightarrow 0^+ \\ G^A &= [E - H - i\eta]^{-1} \end{aligned}}$$

Multimoden-Draht, unendlich ausgedehnt, $B = 0$



$G^R(x, y; x', y') \stackrel{\wedge}{=} WF$ bei (x, y) infolge Anregung bei (x', y')

Ansatz: $G^R = \sum_m A_m^\pm \chi_m(y) e^{ik_m|x-x'|}$

mit transversalen $WF \chi_m(y)$ (vgl. 1.5)

für die gilt $\left\{ -\frac{\hbar^2}{2m} \frac{\partial^2}{\partial y^2} + U(y) \right\} \chi_m(y) = \varepsilon_m \chi_m(y);$
 $\int \chi_n(y) \chi_m(y) dy = \delta_{nm}$ (seien reell)

analoges Vorgehen zum 1-D-Draht

Stetigkeit: $G^R(x = x'^+) \stackrel{!}{=} G^R(x = x'^-)$

$$\Rightarrow \sum_m A_m^+ \chi_m(y) = \sum_m A_m^- \chi_m(y)$$

$$\left| \int \chi_n(y) dy \right. \Rightarrow A_n^+ = A_n^- \quad \forall n$$

Integration $\Rightarrow \left. \frac{\partial G}{\partial x} \right|_{x=x'^+} - \left. \frac{\partial G}{\partial x} \right|_{x=x'^-} = \frac{2m}{\hbar^2} \delta(y - y')$

$$\sum_m ik_m [A_m^+ + A_m^-] \chi_m(y) = \frac{2m}{\hbar^2} \delta(y - y')$$

$$\left| \int^m \chi_n(y) dy \right. \Rightarrow ik_n [A_n^+ + A_n^-] = \frac{2m}{\hbar^2} \chi_n(y')$$

damit

$$G^R(x, y; x', y') = \sum_m -\frac{i}{\hbar v_m} \chi_m(y) \chi_m(y') e^{ik_m |x-x'|}$$

mit $k_m = \sqrt{\frac{2m(E - \varepsilon_m)}{\hbar^2}}$ und $v_m = \frac{\hbar k_m}{m}$

Spektraldarstellung:

Sei $H\psi_\alpha(\vec{r}) = \varepsilon_\alpha \psi_\alpha(\vec{r})$; $(E - H + i\eta)G^R(\vec{r} - \vec{r}')$
entwickeln $G^R(\vec{r} - \vec{r}') = \sum_\alpha c_\alpha(\vec{r}') \psi_\alpha(\vec{r})$

$$\Rightarrow \sum_\alpha (E - \varepsilon_\alpha + i\eta) c_\alpha \psi_\alpha(\vec{r}) = \delta(\vec{r} - \vec{r}')$$

$$\left| \int \psi_\alpha^*(\vec{r}) d^3\vec{r} \right. \Rightarrow c_\alpha = \frac{\psi_\alpha^*(\vec{r}')}{E - \varepsilon_\alpha + i\eta}$$

$$\Rightarrow \boxed{G^R(\vec{r}, \vec{r}') = \sum_\alpha \frac{\psi_\alpha(\vec{r}) \psi_\alpha^*(\vec{r}')}{E - \varepsilon_\alpha + i\eta}}$$

analog: $\boxed{G^A(r, r') = \sum_\alpha \frac{\psi_\alpha(r) \psi_\alpha^*(r')}{E - \varepsilon_\alpha - i\eta}}$

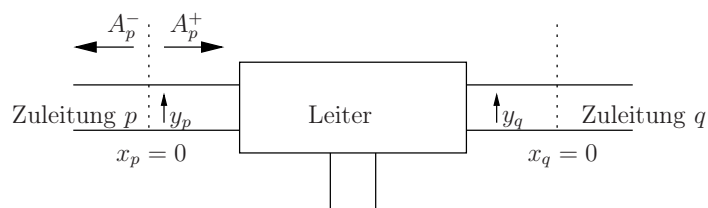
$$\Rightarrow G^A(r, r') = [G^R(r', r)]^*$$

oder in Matrix form

$$G^A = [G^R]^+$$

S-Matrix und Greensche Funktionen

betrachten Leiter mit Zuleitungen



$$G_{qp}^R(y_q; y_p) \equiv G^R(x_q = 0, y_q; x_p = 0, y_p)$$

Propagator zwischen $x_p = 0$ und $x_q = 0$ Ebene
vernachlässigen zunächst y -Dimension;

Anregung bei $x_p = 0$ gibt Anlaß zu zwei Wellen mit A_p^-, A_p^+
 A_p^+ ist gestreut am Leiter

definieren Amplituden-Streumatrix S' durch $S'_{qp} = \sqrt{\frac{\nu_p}{\nu_q}} S_{qp}$ im Bezug auf
"normale" Streumatrix, die sich auf Strom bezieht ($I \sim |\psi|^2 \cdot \nu$, ν : Ge-
schwindigkeit)

damit:

$$G_{qp}^R = \delta_{qp} A_p^- + S'_{qp} A_p^+$$

vorhin $A_p^+ = A_p^- = -\frac{i}{\hbar\nu_p}$, damit

$$G_{qp}^R = \delta_{qp} \left(-\frac{i}{\hbar\nu_p} \right) + S_{qp} \sqrt{\frac{\nu_p}{\nu_q}} \left(-\frac{i}{\hbar\nu_p} \right)$$

$$i\hbar\nu_p G_{qp}^R = \delta_{qp} + S_{qp} \sqrt{\frac{\nu_p}{\nu_q}}$$

$$\Rightarrow \boxed{S_{qp} = -\delta_{qp} + i\hbar\sqrt{\nu_p\nu_q} G_{qp}^R}$$

$$\left(\text{wegen } \delta_{qp} \sqrt{\frac{\nu_q}{\nu_p}} = \delta_{qp} \right)$$

\Rightarrow Streumatrix aus Greenscher Funktion

verallgemeinern auf Multimodendrähte; $m \in p$, $n \in q$

$$\Rightarrow \boxed{S_{nm} = -\delta_{nm} + i\hbar\sqrt{\nu_n\nu_m} \int \int \chi_n(y_q) G_{qp}^R(y_q, y_p) \chi_m(y_p) d_{y_q} d_{y_p}}$$

Fischer-Lee-Beziehung (PRB **23**, 6851 (1981))

3.3. Tight-Binding-Approximation

Praktische Berechnung der Greenschen Funktion bzw. der Streumatrix
 Früher (3.2) $[E - H(\bar{r}) + i\eta]G^R(\bar{r}, \bar{r}') = \delta(\bar{r}, \bar{r}')$ mit

$$H(\bar{r}) = \frac{(i\hbar\nabla + eA)^2}{2m} + U(\bar{r})$$

diskretisieren Ortskoordinate, damit

$$G^R(\bar{r}, \bar{r}') \rightarrow G^R(i, j)$$

mit Gitterpunkten i, j ; DGL \rightarrow Matrixgleichung

$$[(E + i\eta)I - H]G^R = I$$

damit $G^R = [(E + i\eta)I - H]^{-1}$
 brauchen Gitterdarstellung von H !

Beispiel: 1-D, $\vec{A} = 0$

$$H = -\frac{\hbar^2}{2m} \frac{d^2}{dx^2} + U(x)$$

diskretes Gitter $x = ja, \quad j \in \mathbb{Z}$

$$j = \quad \bullet \quad \bullet \quad \bullet \quad \bullet \quad \bullet \quad \bullet \quad \bullet \quad \bullet \quad \bullet$$

\xrightarrow{x}

für beliebige Funktion $F(x)$ gilt

$$HF \Big|_{x=ja} = -\frac{\hbar^2}{2m} \frac{d^2 F}{dx^2} \Big|_{x=ja} + U_j F_j$$

mit $F_j \rightarrow F(x = ja)$; $U_j \rightarrow U(x = ja)$
 diskretisieren Ableitung

$$\begin{aligned} \frac{dF}{dx} \Big|_{x=(j+\frac{1}{2})a} &\rightarrow \frac{1}{a} (F_{j+1} - F_j) \\ \frac{d^2 F}{dx^2} \Big|_{x=ja} &\rightarrow \frac{1}{a} \left\{ \frac{dF}{dx} \Big|_{x=(j+\frac{1}{2})a} - \frac{dF}{dx} \Big|_{x=(j-\frac{1}{2})a} \right\} \\ &\rightarrow \frac{1}{a^2} \{ F_{j+1} - 2F_j + F_{j-1} \} \end{aligned}$$

damit

$$HF \Big|_{x=ja} = (U_j + 2t)F_j - tF_{j-1} - tF_{j+1}$$

mit

$$t \equiv \frac{\hbar^2}{2ma^2}$$

umschreiben als

$$HF \Big|_{x=ja} = \sum_i H(j, i)F_i \quad \text{mit}$$

$$H(j, i) = \begin{cases} U_i + 2t & i = j \\ -t & |i - j| = 1 \\ 0 & \text{sonst} \end{cases}$$

damit Matrixdarstellung für H

$$H = \begin{pmatrix} \ddots & -t & 0 & 0 & 0 \\ -t & U_{-1} + 2t & -t & 0 & 0 \\ 0 & -t & U_0 + 2t & -t & 0 \\ 0 & 0 & -t & U_1 + 2t & -t \\ 0 & 0 & 0 & -t & \ddots \end{pmatrix}$$

abgeleitet aus Finite-Differenzen-Diskretisierung, aber Analogie zu Tight-Bindung:

$$\begin{aligned} U_j + 2t &\rightarrow \text{Orbitalenergie} \\ t &\rightarrow \text{Überlappintegral zum n.N.} \end{aligned}$$

Dispersionsrelation

$U(x) = U_0 \Rightarrow$ Ansatz $\psi_j = e^{ikx_j}$ mit $x_j = ja$
einsetzen in $E\psi_j = (U_0 + 2t)\psi_j - t\psi_{j-1} - t\psi_{j+1}$

$$\Rightarrow E = U_0 + 2t(1 - \cos(ka))$$

Gruppengeschwindigkeit $\hbar\nu = \frac{\partial E}{\partial k} = 2at \sin(k \cdot a)$

Verallgemeinerung auf mehr Dimensionen, $\bar{A} \neq 0$

$$[H]_{ij} = \begin{cases} U(\bar{r}_i) + 2t & i = j \\ -\tilde{t}_{ij} & i, j \text{ n.N.} \\ 0 & \text{sonst} \end{cases}$$

mit $z = \# \text{ n.N.}$ (2 für 1D, 4 für quadratischen Gitter)

$$\tilde{t}_{ij} = t e^{ie\bar{A}(\bar{r}_i - \bar{r}_j)/\hbar}, \quad \bar{A} \left(\frac{r_i + r_j}{2} \right)$$

Jetzt Matrixdarstellung für H , damit Invertierung im Prinzip möglich um

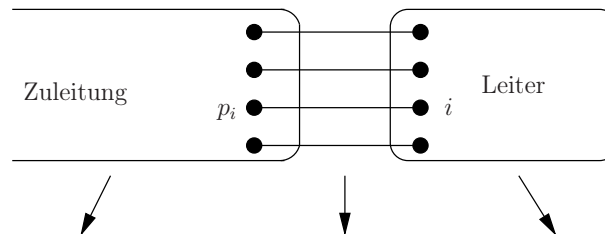
$$G^R = [(E + i\eta)I - H]^{-1}$$

zu bestimmen. Problem: Matrix ∞

Ursache: Zuleitungen gehen nach $\pm\infty$!

willkürliches Abschneiden der Matrix ist keine Lösung, weil das ein geschlossenes System beschreibt

\Rightarrow Partitionieren unser System



H_p τ_p H_c
 isolierte Zuleitung Kopplungsmatrix isolierter Matrix

$$\tau_p(p_i, i) = \begin{cases} t & \text{für } i, p_i \text{ n.N.} \\ 0 & \text{sonst} \end{cases}$$

p_i : Stützstelle in Zuleitung

i : Stützstelle im Leiter

\longrightarrow Partitionierung der Greenschen Funktion

$$\begin{bmatrix} G_p & G_{pC} \\ G_{Cp} & G_C \end{bmatrix} \equiv \begin{bmatrix} (E + i\eta)I - H_p & \tau_p \\ \tau_p^+ & EI - H_C \end{bmatrix}^{-1}$$

(später: Imaginärteil in G_C automatisch)

$$\Rightarrow [(E + i\eta)I - H_p]G_{pC} + [\tau_p]G_C = 0 \quad [] [] = I \quad (*)$$

$$[\tau_p^+]G_{pC} + [EI - H_C]G_C = I \quad (**)$$

schreiben * um:

$$G_{pC} = -g_p^R \tau_p G_C \quad \text{mit}$$

$g_p^R = [(E + i\eta)I - H_p]^{-1}$: Greensche Funktion der Zuleitung

damit in **

$$-\tau_p^+ g_p^R \tau_p G_C + [EI - H_C]G_C = I$$

$$\Rightarrow \boxed{G_C = [EI - H_C - \tau_p^+ g_p^R \tau_p]^{-1}}$$

G_C endlich-dimensionale Matrix

(rang $G_C = \#$ Stützstellen im Leiter)

um G_C zu erhalten, müssen wir scheinbar eine ∞ -dim. Matrix invertieren (um g_p^R zu bestimmen), aber das ist praktisch i.a. nicht nötig, da analytische Lsg. möglich ist für Zuleitung (siehe demnächst)

$$\text{mit } \tau_p(p_i, i) = \begin{cases} t & \text{für } i, p_i \text{ n.N.} \\ 0 & \text{sonst} \end{cases}$$

folgt

$$[\tau_p^+ g_p^R \tau_p]_{ij} = t^2 g_p^R(p_i, p_j)$$

Annahme: Zuleitungen voneinander unabhängig, Einfluß auf Leiter, additiv

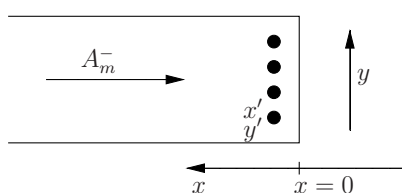
$$\Rightarrow \boxed{G^R = [EI - H_C - \Sigma^R]^{-1}}$$

wobei $\Sigma^R = \sum_p \Sigma_p^R$: Selbstenergie mit

$$\Sigma_p^R(i, j) = s^2 g_p^R(p_i, p_j)$$

für praktische Rechnung brauchen wir

Greensche Funktion für halbumendliche Zuleitung



$$\begin{aligned} U(x < 0) &\rightarrow \infty \\ \Rightarrow \psi(x) &\rightarrow 0 \\ x &< 0 \end{aligned}$$

Eigenfunktionen $\psi_{m\beta}(x) = \sqrt{\frac{2}{L}} \chi_m(y) \sin \beta x$
 $\varepsilon_{m\beta} = \varepsilon_m + \frac{\hbar^2 \beta^2}{2m}$

in Spektraldarstellung der GF:

$$G^R(x, y; x, y') = \frac{2}{L} \sum_m \sum_{\beta > 0} \frac{\chi_m(y) \chi_m(y') \sin^2(\beta x)}{E - \varepsilon_m - \frac{\hbar^2 \beta^2}{2m} + i\eta}$$

↓ ↓
(brauchen nur GF
an ident. x -Koord.)

↓
retardierte GF

$$\sum_{\beta} \rightarrow \frac{L}{\pi} \int d\beta$$

$$G^R(x, y; x, y') = \frac{2}{\pi} \sum_m \chi_m(y) \chi_m(y') \int_0^{\infty} \frac{\sin^2(\beta x)}{E - \varepsilon_m - \frac{\hbar^2 \beta^2}{2m} + i\eta} d\beta$$

Ausintegration (über Residuensatz, Umformung in Konturintegral) ergibt

$$G^R(x, y; x, y') = - \sum_m \frac{2 \sin k_m x}{\hbar v_m} \chi_m(y) e^{ik_m x} \chi_m(y')$$

mit $k_m \equiv \sqrt{\frac{2m(E - \varepsilon_m)}{\hbar^2}}$

$$v_m \equiv \frac{\hbar k_m}{m}$$

jetzt Übergang zum diskreten Gitter, d.h.

$$\hbar v_m = 2at \sin k_m \cdot a \quad (\text{vorhin})$$

$$\begin{aligned} \Rightarrow g^R(p_i, p_j) &= G^R(x, y; x, y') \Big|_{\substack{x=y=a \\ y=p_i \\ y'=p_j}} \\ &= - \sum \frac{1}{at} \chi_m(p_i) e^{ik_m a} \chi_m(p_j) \end{aligned}$$

damit Selbstenergie

$$\sum_p^R = - \frac{t}{a} \sum_{m \in p} \chi_m(p_i) e^{ik_m a} \chi_m(p_j)$$

Aus der Greenschen Funktion können wir die S -Matrix berechnen über Fischer-Lee-Relation, daraus die Transmissionsfunktion:
früher (3.2)

$$s_{nm} = -\delta_{nm} + i\hbar\sqrt{v_n v_m} \int \int \chi_n(y_q) [G_{qp}^R(y_q, y_p)] \chi_m(y_p) d_{y_p} d_{y_q}$$

für $n \neq m$, nutzen $G^A(y, y') = G^{R*}(y', y)$,
diskrete Darstellung

$$|s_{nm}|^2 = \frac{\hbar^2 v_n v_m}{C^2} \sum_{i,j,i',j'} \chi_n(q_j) G^R(j, i) \chi_m(p_i) \chi_n(q_{j'}) G^A(i', j') \chi_m(p_i)$$

↓
Normierungskonstante
wegen $\int \rightarrow \sum$

früher (3.1)

$$\begin{aligned} \bar{T}_{qp} &= \sum_{n \in q} \sum_{m \in p} |s_{nm}|^2 \\ \bar{T}_{qp} &= \sum_{\substack{i,j \\ i',j'}} \Gamma_q(j', j) G^R(j, i) \Gamma_p(i, i') G^A(i', j') \end{aligned}$$

$$\boxed{\bar{T}_{qp} = Sp[\Gamma_q G^R \Gamma_p G^A]} \quad (*)$$

mit $\Gamma_p(i, j) \equiv \sum_{m \in p} \chi_m(p_i) \frac{\hbar v_m}{c} \chi_m(p'_j)$

(Kopplungsmatrix) mit

$$(\Sigma_p^R)_{ij} = -\frac{t}{a} \sum_{m \in p} \chi_m(p_i) e^{ik_m a} \chi_m(p_j)$$

$$(\Sigma_p^A)_{ij} = (\Sigma_p^R)_{ji}^*$$

$$\text{und } \hbar v_m = 2at \sin(k_m a)$$

(Dispersionsrelation für diskretes Gitter)

$$\text{folgt } \boxed{\Gamma_p = i [\Sigma_p^R - \Sigma_p^A]} \quad (**)$$

(1)

Mit * und ** kompakter Ausdruck für Transmissionsfunktion. GF G^R beschreibt die Dynamik der e^- im Leiter, dabei ist der Einfluß der Zuleitungen

durch Selbstenergie Σ^R enthalten. Kopplungsmatrix Γ beschreibt die Zuleitungen.

Summenregel

früher (3.1) $\sum_q \bar{T}_{pq} = \sum_q \bar{T}_{qp} = M_p : \# \text{ Moden in } p$

Suchen Analogie für Greensche Funktion

$\sum_q \bar{T}_{pq} = Sp[\Gamma_p G^R \Gamma G^A]$ mit

$$\Gamma \equiv \sum_q \Gamma_q = \sum_q i [\Sigma_q^R - \Sigma_q^A] = i [\Sigma^R - \Sigma^A]$$

mit $A \equiv G^R \Gamma G^A$: Spektralfunktion

folgt $\sum_q \bar{T}_{pq} = Sp[\Gamma_p A]$

analog $\sum_q \bar{T}_{qp} = Sp[\Gamma_p \tilde{A}]$

mit $\tilde{A} = G^A \Gamma G^R$

$A = \tilde{A}?$

vorhin: $G^R = [EI - H_c - \Sigma^R]^{-1}$
 $\Rightarrow [G^R]^{-1} - [G^A]^{-1} = \Sigma^A - \Sigma^R = i\Gamma$

(G^R von links, G^A von rechts)
 $\Leftrightarrow G^A - G^R = iG^R \Gamma G^A = iA$

(G^A von links, G^R von rechts)
 $\Leftrightarrow G^A - G^R = iG^A \Gamma G^R = i\tilde{A}$

$$\Rightarrow A = \tilde{A}$$

$$\Rightarrow \boxed{\sum_q \bar{T}_{pq} = \sum_q \bar{T}_{qp} = Sp[\Gamma_p A]}$$

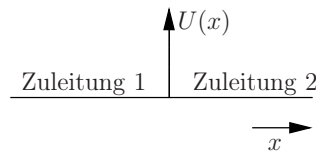
Spektralfunktion $A \hat{=}$ verallgemeinerte Zustandsdichte im Leiter unter Einfluß der Zuleitungen

Bemerkung: Was haben wir erreicht?

Elimination der halbunendlichen Zuleitungen! Transmissionsfunktion gegeben durch Funktionen die *innerhalb* des endlichen Leiters definiert sind. Gilt auch für $\Sigma_p^R(i, j)$ die wir an den Stellen i und j *innerhalb* des Leiters benötigen

⇒ Diskretisierung des Leiters mit N Stützstellen
 → $N \times N$ Matrixproblem

Beispiel: Draht mit einer Mode, Streupotential $U(x) = U_0\delta(x)$



a) S-Matrix aus SG: $E\psi + \frac{\hbar}{2m} \frac{\partial^2 \psi}{\partial x^2} = U_0\psi\delta(x)$

$$\text{Ansatz: } \psi(x) = \begin{cases} e^{ikx} + S_{11}e^{-ikx} & x < 0 \\ S_{21}e^{ikx} & x > 0 \end{cases}$$

$$\psi \text{ stetig bei } x = 0 \Rightarrow S_{21} = 1 + S_{11} \quad (*)$$

$$\psi' \text{ springt bei } x = 0 : \psi'(0^+) - \psi'(0^-) = \frac{2mU_0}{\hbar^2}\psi(0)$$

$$\Rightarrow ikS_{21} = ik(1 - S_{11}) + \frac{2mU_0}{\hbar^2}S_{21}$$

$$\Rightarrow \left(1 - \frac{2U_0}{i\hbar v}\right) = 1 - S_{11}$$

$$\text{mit } \nu = \frac{\hbar k}{m} = \sqrt{\frac{2mE}{\hbar^2}}$$

$$\text{mit } (*) \text{ folgt } S_{11} = \frac{U_0}{i\hbar v - U_0} \quad (= S_{22})$$

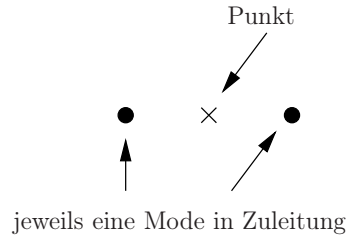
$$S_{21} = \frac{i\hbar v}{i\hbar v - U_0} \quad (= S_{12})$$

↑

Symmetrie des Problems

b) S-Matrix aus Fischer-Lee:

diskretes Gitter mit 1 Punkt repräsentiert Leiter ⇒ 1×1 Matrizen



$$\text{vorhin: } H_{i,j} = \begin{cases} U_i + 2t & t = i = j \\ -t & |i - j| = 1 \\ 0 & \text{sonst} \end{cases}$$

$$\longrightarrow EI - H_c \longrightarrow E - U_0 - 2t$$

vorhin

$$\Sigma_1^R = \Sigma_2^R = -t \sum_m \chi_m e^{ik_m a} \chi_m$$

↓ (nur 1 Mode)

$$-t e^{ika}$$

damit

$$G^R = [EI - H_C - \Sigma^R]^{-1} \quad \text{mit} \quad \Sigma^R = \sum_p \Sigma_p^R$$

$$\longrightarrow [E - U_0 - 2t + 2te^{ika}]^{-1}$$

mit Dispersionsrelation für diskretes Gitter:

$$E = 2t(1 - \cos(ka)) \quad (\text{vorhin})$$

folgt

$$G^R = [-U_0 + \underbrace{2ti \sin(ka)}_{i\hbar\nu}]^{-1}$$

$i\hbar\nu$: Gruppengeschwindigkeit
für diskretes Gitter

$$G^R = \frac{1}{i\hbar\nu - U_0}$$

früher (3.2) $S_{pq} = -\delta_{pq} + i\hbar\sqrt{\nu_q\nu_p}G_{qp}^R$
(Fischer-Lee für 1D-Zuleitungen)

damit

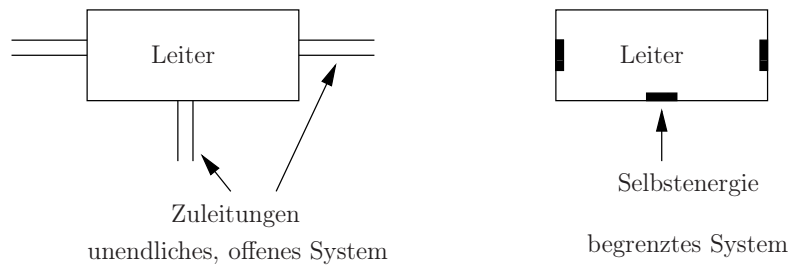
$$[S] = \frac{1}{i\hbar\nu - U_0} \begin{bmatrix} U_0 & i\hbar\nu \\ i\hbar\nu & U_0 \end{bmatrix}$$

analog zur Lsg. mittels Schrödingergleichung

3.4. Selbstenergie

ersetzen \longrightarrow durch

$$G^R = [E - H + i\eta]^{-1} \quad G^R = [E - H_c - \Sigma^R]^{-1}$$



Lebensdauer

QM für geschlossenes System:

$$H_c \psi_\alpha^0 = \varepsilon_\alpha^0 \psi_\alpha^0$$

jetzt offenes System mit Kopplung an Zuleitungen
 \longrightarrow effektiver Hamiltonian

$$[H_c + \Sigma^R] \psi_\alpha = \varepsilon_\alpha \psi_\alpha$$

Σ i. allg. nicht hermitisch \rightarrow komplexe EW

$$\varepsilon_\alpha = \varepsilon_\alpha^0 - \Delta_\alpha - i \frac{\gamma_\alpha}{2}$$

\uparrow
 H_c

Zeitabhängigkeit einer Zustands ψ_α

$$e^{-i\varepsilon_\alpha \frac{t}{\hbar}} \rightarrow e^{-i(\varepsilon_\alpha^0 - \Delta_\alpha) \frac{t}{\hbar}} e^{-\frac{\gamma_\alpha t}{2\hbar}}$$

D.h. Δ_α : Energieverschiebung der Niveaus durch WW mit Zuleitungen
 γ_α : Folge der Tatsache das ein e^- im Leiter irgendwann durch eine Zuleitung verschwindet

$$|\psi_\alpha|^2 \sim e^{-\frac{\gamma_\alpha t}{\hbar}}, \quad \text{d.h. } \frac{\hbar}{\gamma_\alpha} : \text{Lebensdauer}$$

falls Selbstenergie hermitisch, d.h.

$$\Gamma = i[\Sigma^R - \Sigma^A] = 0 \quad \Rightarrow \quad \text{unendl. Lebensdauer der Zustände}$$

Spektraldarstellung

naiv: $G^R(r, r') = \sum_{\alpha} \frac{\psi_{\alpha}(r)\psi_{\alpha}^*(r')}{E - \varepsilon_{\alpha}}$ (falsch!)

Problem: $H_c + \Sigma^R$ nicht hermitisch, ψ_{α} formen kein orthogonales Funktionensystem, brauchen auch EF des adjungierter Op.

$$[H_c + \Sigma^A]\phi_{\alpha} = \varepsilon_{\alpha}^*\phi_{\alpha}$$

$$[H_c + \Sigma^R]\psi_{\alpha} = \varepsilon_{\alpha}\psi_{\alpha}$$

$\psi_{\alpha}, \phi_{\alpha}$ formen bi-orthonormales Funktionensystem:

$$\int \phi_{\alpha}(r)\psi_{\beta}^*(r)dr = \delta_{\alpha\beta}$$

damit ergibt sich die Greensche Funktion zu

$$G^R(r, r') = \sum_{\alpha} \frac{\psi_{\alpha}(r)\phi_{\alpha}^*(r')}{E - \varepsilon_{\alpha}}$$

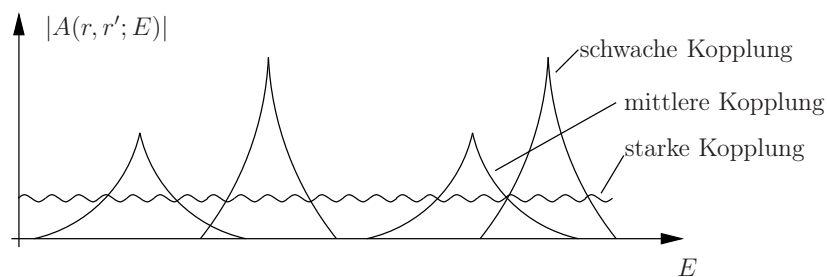
(siehe z.B. van Haeringen, Farid, Lenstra, Physica Scripta, T19, **282** (1987))

Spektralfunktion

$$A \equiv i[G^R - G^A] \quad \left(\text{mit } G^{\frac{R}{A}} = [E - H \pm i\eta]^{-1} \right)$$

$$A(r, r') = \sum_{\alpha} \psi_{\alpha}(r)\phi_{\alpha}^*(r') \frac{\gamma_{\alpha}}{\underbrace{(E - \varepsilon_{\alpha}^0 + \Delta_{\alpha})^2 + \left(\frac{\gamma_{\alpha}}{2}\right)^2}}$$

→ Peak shift um Δ_{α}
Peakverbreitung um γ_{α}



$$\begin{aligned}
 Sp[A] &= \int A(r, r) dr \\
 &= \sum_{\alpha} \frac{\overbrace{\int \gamma_{\alpha} \phi_{\alpha}(r) \psi_{\alpha}^*(r) dr}^{\delta_{\alpha\alpha}=1 \text{ (vorhin)}}}{(E - \varepsilon_{\alpha}^0 + \Delta_{\alpha})^2 + \left(\frac{\gamma_{\alpha}}{2}\right)^2} \\
 &= \sum_{\alpha} \frac{\gamma_{\alpha}}{\underbrace{(E - \varepsilon_{\alpha}^0 + \Delta_{\alpha})^2 + \left(\frac{\gamma_{\alpha}}{2}\right)^2}_{\downarrow \gamma_{\alpha} \rightarrow 0}} \\
 &= \underbrace{2\pi \delta(E - \varepsilon_{\alpha}^0 + \Delta_{\alpha})}_{2\pi N(E) : \text{ Zustandsdichte}}
 \end{aligned}$$

gilt allgemein
$$N(E) = \frac{1}{2\pi} Sp[A(E)]$$

$$\varrho(r, E) = \frac{1}{2\pi} A(r, r; E) = -\frac{1}{\pi} Im [G^R(r, r; E)]$$

lokale Zustandsdichte

3.5. Veranschaulichung: Feynmanpfade

$$G^R = [EI - H_c - \Sigma^R]^{-1}$$

zerlegen $[G^R]^{-1}$ in ungestörtes System G_0^{-1} und Störung α :

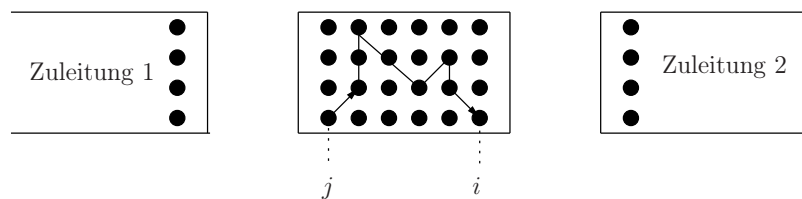
$$\begin{aligned}
 [G^R]^{-1} &= [G_0]^{-1} - \alpha \\
 G^R &= [G_0^{-1} - \alpha]^{-1} \\
 &= [G_0^{-1} [I - G_0 \alpha]]^{-1} \\
 &= [I - G_0 \alpha]^{-1} G_0 \quad \text{mit} \quad \frac{1}{1-x} = 1 + x + x^2 + x^3 + \dots \\
 &= G_0 + G_0 \alpha G_0 + G_0 \alpha G_0 \alpha G_0 + \dots
 \end{aligned}$$

D.h. Summe über Segmente ungestörter Propagation (G_0) die sich mit Übergängen induziert durch die Störung α abwechseln.

Anschauliche Interpretation durch Summe über alle Pfade (gewichtet mit Amplitude A) die den relevanten Anfangs- und Endpunkt haben:

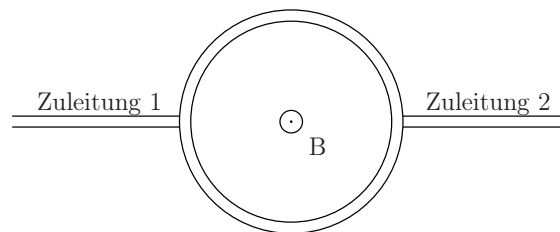
$$G^R(i, j) = \sum_p A_p(i, j)$$

$p \in \forall$ Pfade von j nach i



Beispiel: Aharonov-Bohm-(A-B) Effekt

Leitfähigkeit durch mesoskopischen Ring ($\varnothing \approx 1\mu m$):



Experiment: $G = G_0 + G' \cos\left(\frac{|e|BS}{\hbar} + \varphi_0\right)$

S : Fläche im Ring

Oszillationen durch Interferenz

Transmission von Mode m in Zuleitung 1 zu Mode n in Zuleitung 2

$$T(n \leftarrow m) = |t_1 + t_2|^2$$

$$t_1 = \sum_{\substack{p \in \text{oberer} \\ \text{Arm}}} A_p; \quad t_2 = \sum_{\substack{p \in \text{unterer} \\ \text{Arm}}} A_p$$

(früher, 3.3) Hopping-Amplitude zwischen zwei Gitterplätzen i, j bei B -Feld:

$$\alpha_{ij} = t e^{\frac{ie\bar{A}(\bar{r}_i - \bar{r}_j)}{\hbar}}$$

⇒ A-Potential führt zu Phasenverschiebung für jeden Pfad

$$t_1(B) = t_1(0)e^{i\varphi_1} \quad \varphi_1 = \frac{e}{\hbar} \int_{\text{oberer Arm}} \bar{A} \cdot d\bar{l}$$

$$t_2(B) = t_2(0)e^{i\varphi_2} \quad \varphi_2 = \frac{e}{\hbar} \int_{\text{unterer Arm}} \bar{A} \cdot d\bar{l}$$

$$\begin{aligned} \varphi_1 - \varphi_2 &= \frac{|e|}{\hbar} \oint \bar{A} d\bar{l} \\ &= \frac{|e|}{\hbar} \int \bar{B} d\bar{s} \\ &= \frac{|e|BS}{\hbar} \end{aligned}$$

damit

$$T(n \leftarrow m) = |t_1 + t_2|^2 = T_1 + T_2 + 2\sqrt{T_1 T_2} \cos\left(\frac{|e|BS}{\hbar} + \varphi_0\right)$$

$$\text{mit } T_1 = |t_1|^2, \quad T_2 = |t_2|^2$$

(Theoretisch vorhergesagt in Phys. Rev. 115, **485** (1959))

3.6. Zusammenfassung und Einordnung

Abschnitt 3.1 Transmissionsfunktion aus Streumatrix

Abschnitt 3.2 Greensche Funktionen, S-Matrix, durch Fischer-Lee-Beziehung

$$\begin{aligned} S_{nm} &= -\delta_{nm} + i\hbar\sqrt{\nu_n\nu_m} \int \int d_{y_q} d_{y_p} \chi_n(y_q) \\ &\quad \times [G_{qp}^R(y_q, y_p)] \chi_m(y_p) \\ &\quad (m \in p, n \in q) \end{aligned}$$

Abschnitt 3.3 Tight-Binding-Approximation

→ Berechnung von G^R , Einbezug der Zuleitungen durch Renormalisierung über Selbstenergien

$$G^R = [EI - H_C - \Sigma^R]^{-1}$$

↑

Hamiltonian für
abgeschlossenen Leiter

$\Sigma^R = \sum_p \Sigma_p^R$ wobei Σ_p^R nur verschieden von Null für Punkte im Leiter gegenüber Zuleitungen

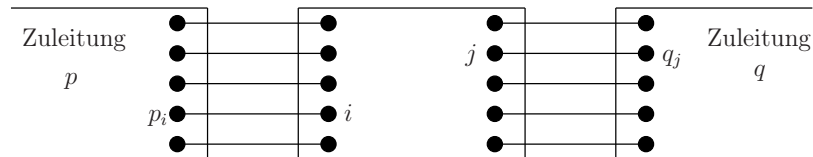
$\Sigma_p^R(i, j) = t^2 g_p^R(p_i, p_j)$ mit
 g_p^R : Greensche Funktion für isolierte Zuleitungen p

$g_p^R(p_i, p_j) = -\frac{1}{t} \sum_m \chi_m(p_i) e^{ik_m a} \chi_m(p_j)$
mit $\bar{T}_{qp} = \sum_{n \in q} \sum_{m \in p} |S_{nm}|^2$ und Fischer-Lee folgt kompakter Ausdruck

$$\boxed{\bar{T}_{qp} = Sp[\Gamma_q G^R \Gamma_p G^A]}$$

wobei $\Gamma_p(i, j) = i (\Sigma_p^R(i, j) - \Sigma_p^A(i, j))$
(Kopplungsmatrix) $= \sum_m \chi_m(p_i) \frac{\hbar v_m}{a} \chi_m(p_j)$

Wichtig: Alle Ausdrücke definiert für Punkte i, j im Leiter



Kubo-Formalismus (aus stat. Mechanik)

$$\sigma = \frac{2e^2 \hbar^2}{h L^d} \sum_{\bar{k}, \bar{k}'} \nu_x(\bar{k}') \nu_x(\bar{k}) |G^R(\bar{k}', \bar{k})|^2$$

d : # Dimensionen

(Lee, Ramakrishnan, Rev. Mod. Phys. **57**, 287 (1989))

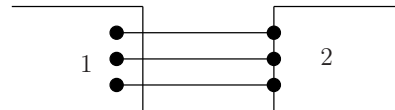
ähnlich Landauer-Büttiker für

$$\frac{\hbar \nu_x}{L} \rightarrow \Gamma!$$

Plausibel: Kopplungsmatrix Γ_p gibt uns Rate für Zerfall eines elektronischen Zustands durch Abfluß in Zuleitung $p \sim$ Geschwindigkeit ν_x

Transfer-Hamilton-Formalismus

oft verwandt bei schwacher Kopplung, z.B. STM



$$I = \frac{4\pi e}{\hbar} \int [f_1(E) - f_2(E)] |M(E)|^2 \varrho_1(E) \varrho_2(E) dE$$

ϱ_1, ϱ_2 : Zustandsdichte in 1,2

M : Matrixelemente zwischen 1 und 2

(siehe Chen, Introduction to Scanning Tunneling Microscopy, Oxford University Press, 1993)

$$kT \ll \Delta\mu \rightarrow f_2(E) \approx \theta(\mu_2 - E)$$

$$\frac{\partial f}{\partial E} \rightarrow \delta(\mu_2 - E)$$

$$\Rightarrow \frac{\partial I}{\partial \mu_2} \rightarrow \frac{4\pi e}{\hbar} |M(E)|^2 \varrho_1(E) \varrho_2(E) \Big|_{E=\mu_2}$$

oft benutzt zur Abschätzung von Zustandsdichten aus STS-Messungen

Strom aus Landauer-Büttiker (vgl. 2.5)

$$I = \frac{2e}{h} \int \bar{T}(E) [f_1(E) - f_2(E)]$$

Konsistenz mit Transfer-Hamiltonian-Formalismus fordert

$$\begin{array}{ccc} \bar{T} \stackrel{!}{=} 4\pi^2 & |M|^2 & \varrho_1 \varrho_2 \\ & \downarrow & \downarrow \\ & T & \# \text{ Moden} \\ & \text{Trans-} & \\ & \text{mission} & \end{array}$$

plausibel!

THF abgerüstete Version des Streuformalismus (LBF) für schwache Kopplung

4. Beispiele

4.1. Quantenhalleffekt

Erinnerung 1.5: \bar{B} -Feld separiert Transportkanäle, räumliche Trennung von $+k$ & $-k$ -Zuständen reduziert e^- -Streuung \Rightarrow Verringerung des Widerstands

jetzt quantitativ: EMA

$$\left\{ E_s + \frac{(i\hbar\nabla + e\bar{A})^2}{2m} + U(y) \right\} \psi(x, y) = E\psi(x, y)$$

früher 1.5 $U = 0, \quad B \neq 0$

$$\Rightarrow \psi_{nk}(x, y) = \frac{1}{\sqrt{L}} e^{ikx} u_n(q + q_k) = |n, k\rangle$$

$$E(n, k) = E_s + \left(n + \frac{1}{2} \right) \hbar\omega_c \quad n = 0, 1, 2, \dots$$

mit $u_n(q) = e^{-\frac{q^2}{2}} H_n(q) \leftarrow$ Hermitesche Polynome

$$\text{wobei } q = \sqrt{\frac{m\omega_c}{\hbar}} y \quad q_k = \sqrt{\frac{m\omega_c}{\hbar}} y_k$$

$$y_k \equiv \frac{\hbar k}{eB}, \quad \omega_c \equiv \frac{|e|B}{m}$$

jetzt Einsetzung der Begrenzung unseres 2D-Leiters durch Störungsrechnung für Potential $U(y)$

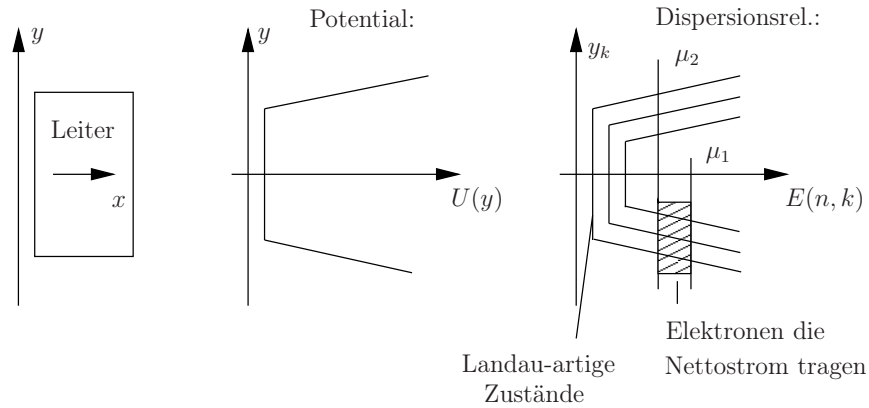
$$E(n, k) \approx E_s + \left(n + \frac{1}{2} \right) \hbar\omega_c + \langle n, k | U(y) | n, k \rangle$$

jeder Zustand $\langle n, k \rangle$ zentriert um $y = y_k$ mit räumlicher Ausdehnung

$$\Delta y \sim \sqrt{\frac{\hbar}{m\omega_c}}$$

wenn Variation von $U(y)$ klein auf Längenskala Δy

$$\Rightarrow E(n, k) = E_s \left(n + \frac{1}{2} \right) \hbar\omega_c + U(y_k)$$



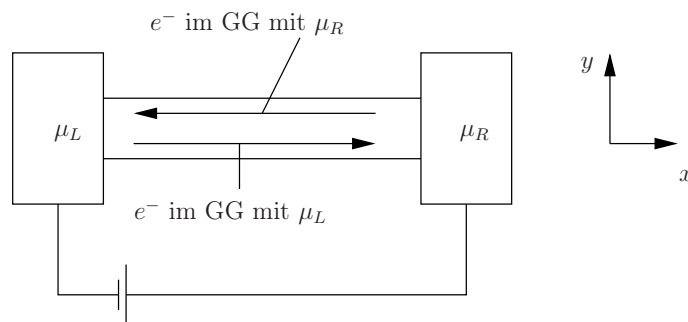
Offensichtlich Strom nur getragen von Zuständen an der Kante des Leiters:

$$v(n, k) = \frac{1}{\hbar} \frac{\partial E(n, k)}{\partial k} = \frac{1}{\hbar} \frac{\partial U(y_k)}{\partial k} = \frac{1}{\hbar} \frac{\partial U(y)}{\partial y} \frac{\partial y_k}{\partial k} = \frac{1}{eB} \frac{\partial U(y)}{\partial y}$$

früher (2.3) Widerstand bestimmt durch Impulsrelaxation der Stromtragenden Zustände

jetzt praktisch kein Impulstransfer von $+k$ zu $-k$ -Zuständen möglich:

- Überlapp exp. klein
- keine Zustände im Inneren des Leiters mit $\mu_2 < E < \mu_1$



$$\left. \begin{array}{l} \mu_1 = \mu_L \\ \mu_2 = \mu_R \end{array} \right\} \forall x \Rightarrow \text{kein Spannungsabfall zwischen zwei Stellen auf} \\ \text{derselben Seite der Probe} \\ \text{(longitudinal)} \\ V_L = 0$$

konstanter Spannungsabfall zwischen 2 Punkten auf verschiedenen Seiten der Probe

$$eV_H = \mu_L - \mu_R \quad (\text{Hallspannung})$$

Wichtig: Stimmt nur, wenn das elektrochemische Potential zwischen zwei Landau-Niveaus liegt! Wenn das Potential auf Landau-Niveau liegt, können e^- von links nach rechts streuen durch das Innere der Probe \Rightarrow Maximum des Widerstands

Strom? Situation wie bei ballistischen Leiter (2.1)

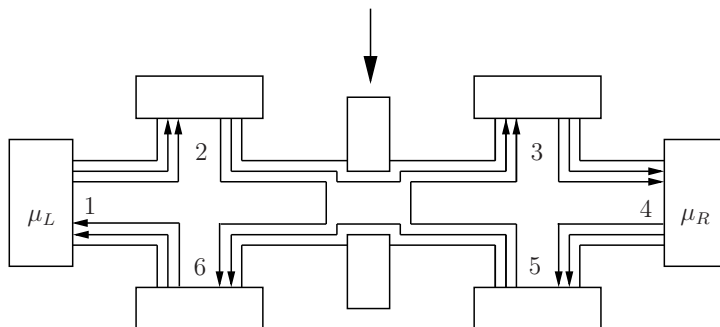
$$I = \frac{2e}{h} M (\mu_l - \mu_R)$$

M : # Zustände an Kante bei E_F
 $\hat{=}$ # Landau-Niveaus (besetzt) im Volumen

damit $R_L = \frac{V_L}{I} = 0$

$$R_H = \frac{V_H}{I} = \frac{h}{2e^2 M} = \frac{25.8128 k\Omega}{2M}$$

bis jetzt Streuung völlig vernachlässigt, jetzt Einbau eines Rückstreuers:



Nur $N < M$ Kantenzustände propagieren durch die Einschränkung
 \Rightarrow Nettostrom von links nach rechts

$$I_1 = \frac{2e}{h} N (\mu_L - \mu_R) = \frac{2e^2}{h} N V_1$$

$$\begin{array}{c} \uparrow \\ \mu_L = eV_1 \\ \mu_R = 0 \end{array}$$

mit $p \equiv \frac{M - N}{M} = \frac{\text{\#reflektierte Kanäle}}{\text{\#Kanäle insgesamt}}$ folgt

$$I_1 = \frac{2e^2}{h} M \cdot V_1 \cdot (1 - p) \quad (*)$$

Kontakt 2 sieht nur e^- von links $\mu_2 = eV_1$

Kontakt 5 sieht nur e^- von rechts $\mu_5 = 0$

Kontakt 6 sieht $M - N$ Kanäle von links und
 N Kanäle von rechts

$$\longrightarrow \mu_6 = \frac{(M - N)\mu_L + \overbrace{N\mu_R}^{=0}}{M} = eV_1 p$$

Kontakt 3 analog

$$\longrightarrow \mu_3 = \frac{N\mu_L + (M - N)\mu_R}{M} = eV_1(1 - p)$$

damit longitudinale Widerstand zwischen 2 & 3 (oder 5 & 6)

$$\begin{aligned} R_L &= \frac{\mu_2 - \mu_3}{eI_1} = \frac{V_1 p}{I_1} \stackrel{*}{=} \frac{V_1 p \cdot h}{2e^2 M V_1 (1 - p)} \\ &= \frac{h}{2e^2 M} \left[\frac{p}{1 - p} \right] \\ &= \frac{h}{2e^2 M} \left[\frac{1}{N} - \frac{1}{M} \right] \end{aligned}$$

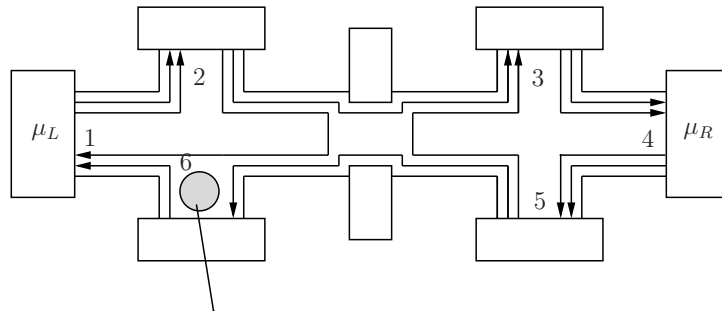
”Fraktionale Quantisierung”, exp. beobachtet

Hallwiderstand zwischen 2 & 6 (oder 3 & 5)

$$R_H = \frac{\mu_2 - \mu_6}{eI_1} = \frac{V_1(1 - p)}{I_1} \stackrel{*}{=} \frac{h}{2e^2 M}$$

→ kein Einfluß der Barriere

Manchmal exp. dort ein Einfluß der Barriere beobachtet! Warum? Nichtideale Kontakte:



Störung, verhindert Detektion eines Kanals

Kontakt 6 sieht jetzt ausschließlich e^- von rechts

$$\Rightarrow \mu_6 = 0$$

$$\Rightarrow R_H = \frac{V_2 - V_6}{I_1} = \frac{V_1}{I_1} * \frac{h}{2e^2 M(1-p)}$$

(anstelle von $\frac{h}{2e^2 M}$)

gilt nur, wenn die Kantenzustände untereinander nicht kommunizieren und kein gemeinsames Potential einstellen

Exp.: R_L zeigt kein Ohmsches Verhalten auch wenn Fermienergie auf einem Landau-Niveau liegt
(siehe z.B. Hang, von Klitzing, Europhys. Lett **10**, 489 (1989))

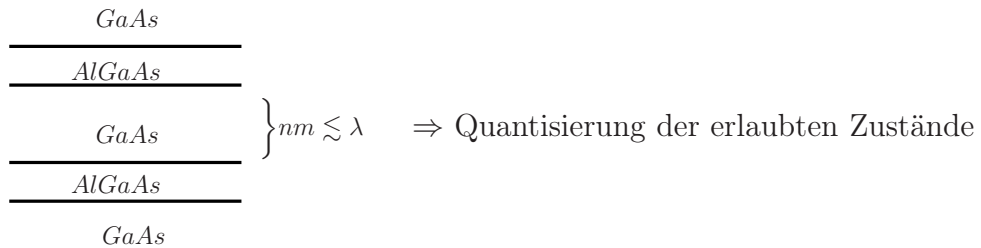
Ursache: Nur die innere Kantenzustände streuen von links nach rechts und umgekehrt, d.h. nicht alle Zustände spüren e^-e^- -Streuung

⇒

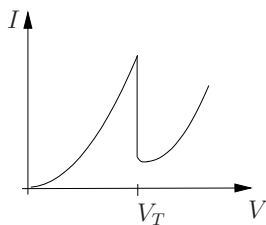
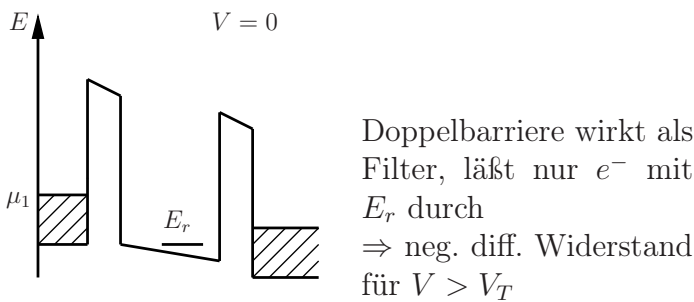
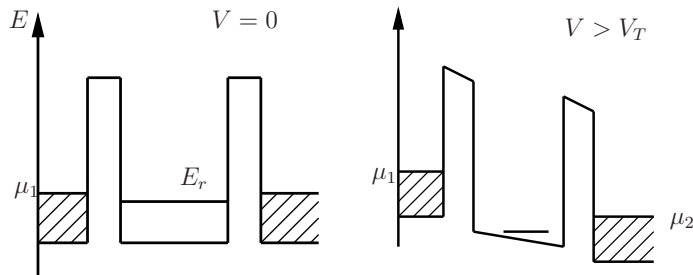
QHE erlaubt Beobachtung mesoskopischer Transportphänomene über Längenskalen von $mm!$

4.2. Doppelbarriere

Bsp.: kohärentes, resonantes Tunneln



Annahme: Box so klein, daß nur ein erlaubter Zustand im relevanten Energiebereich



quantitative Berechnung (vgl. 2.5)

$$I = \frac{2e}{h} \int \bar{T}(E)[f_1(E) - f_2(E)]dE$$

$f_{1/2}$: Fermifunktionen der Kontakte

mit $\bar{T}(E) = \sum_m \sum_n T_{nm}(E)$

tiefe Temperaturen: $f_{1/2}(E) = \theta(\mu_{1/2} - E)$

$$\Rightarrow I = \frac{2e}{h} \int_{\mu_2}^{\mu_1} \bar{T}(E) dE$$

vernachlässigen inelastische Streuung, Transmission von EMA

$$\left[E_C + \frac{(i\hbar\nabla + e\bar{A})^2}{2m} + U(\bar{r}) \right] \psi(\bar{r}) = E\psi(\bar{r})$$

$$\bar{A} = 0$$

$$E_C = 0$$

$$U(\bar{r}) = U_T(x, y) + U_L(z) \text{ (separabel)}$$

\Rightarrow können SG separieren

Quermoden aus

$$\left\{ -\frac{\hbar^2}{2m} \left(\frac{\partial^2}{\partial x^2} + \frac{\partial^2}{\partial y^2} \right) + U_T(x, y) \right\} \phi_m(x, y) = \varepsilon_m \phi_m$$

Streuung aus

$$\left\{ E_L + \frac{\hbar^2}{2m} \frac{\partial}{\partial z^2} - U_L(z) \right\} \phi_m(z) = 0$$

$$\text{mit } E_L = E - \varepsilon_m$$

D.h. wenn $U_L(z)$ bekannt, erhalten wir aus obiger Gleichung die Transmissionswahrscheinlichkeit für ein Elektron mit $E_L = E - \varepsilon_m$

$U_T(x, y)$ hängt nicht von z ab

\Rightarrow keine Streuung zwischen der Quermoden

$$\Rightarrow T_{nm}(E) = T_L(E - \varepsilon_m) \delta_{nm}$$

$$\Rightarrow \bar{T}(E) = \sum_m \sum_n T_{nm}(E) = \sum_m T_L(E - \varepsilon_m)$$

früher (3.1) zwei Streuer in Reihenschaltung

$$T_L(E_L) = \frac{T_1 T_2}{1 - 2\sqrt{R_1 R_2} \cos \theta(E_L) + R_1 R_2}$$

$T_{1/2}$: Transmission von Barriere 1 und 2

$R_{1/2}$: Reflektion von 1 und 2

θ : Phasenverschiebung bei einem Umlauf zwischen 1 und 2

$$\begin{aligned}
 T_L(E_L) &= \frac{T_1 T_2}{[1 - \sqrt{R_1 R_2}]^2 + 2\sqrt{R_1 R_2}(1 - \cos \theta(E_L))} \\
 &\approx \frac{T_1 T_2}{\left[\frac{T_1 + T_2}{2}\right]^2 + 2(1 - \cos \theta(E_L))} \\
 &\quad \left(R_{1/2} \approx 1 \quad (\text{typ.}), \quad \sqrt{1-x} \approx 1 - \frac{x}{2}\right)
 \end{aligned}$$

scharfe Resonanzen für $\cos \theta(E_L) \Big|_{E_L=E_r} = 1$
 (wegen kleiner Transmission $T_{1,2}$ wird Nenner sehr klein)
 entwickeln Kosinus um Resonanz $E_L = E_r$

$$\begin{aligned}
 1 - \cos \theta(E_L) &\approx \frac{1}{2}(\theta(E_L) - 2n\pi)^2 \\
 &\approx \frac{1}{2} \left(\frac{\partial \theta}{\partial E_L} \right)^2 (E_L - E_r)^2
 \end{aligned}$$

damit

$$T_L(E_L) \approx \frac{T_1 T_2}{\left[\frac{T_1 + T_2}{2}\right]^2 + \left(\frac{d\theta}{dE_L}\right)^2 (E_L - E_r)^2}$$

$$\Leftrightarrow \boxed{
 \begin{aligned}
 T_L(E_L) &\approx \frac{\Gamma_1 \Gamma_2}{(E_L - E_r)^2 + \left(\frac{\Gamma_1 + \Gamma_2}{2}\right)^2} & \Gamma_1 &\equiv \frac{dE_L}{d\theta} T_1 \\
 & & \Gamma_2 &\equiv \frac{dE_L}{d\theta} T_2
 \end{aligned}
 }$$

gute Approximation in der Nähe de Resonanz
 erweitern mit $\Gamma \equiv \Gamma_1 + \Gamma_2$

$$\begin{aligned}
 T_L(E_L) &\approx \frac{\Gamma_1 \Gamma_2}{\Gamma_1 + \Gamma_2} \frac{\Gamma_1 + \Gamma_2}{\underbrace{(E_L - E_r)^2 + \left(\frac{\Gamma_1 + \Gamma_2}{2}\right)^2}_{\text{Lorentz-Kurve}}} \\
 & \quad A(\varepsilon) = \frac{\Gamma}{\varepsilon^2 + \left(\frac{\Gamma}{2}\right)^2}
 \end{aligned}$$

$$T_L(E_L) \approx \frac{\Gamma_1 \Gamma_2}{\Gamma_1 + \Gamma_2} A(E_L - E_r)$$

damit Gesamttransmission

$$\bar{T}(E) = \sum_m T_L(E - \varepsilon_m) = \frac{\Gamma_1 \Gamma_2}{\Gamma_1 + \Gamma_2} \sum_m A(E - E_m)$$

mit $E_m \equiv E_r + \varepsilon_m$

intuitiv klar: • Peaks in Transmission für

$$E = E_r \quad + \quad \varepsilon_m$$

\downarrow \downarrow
 Longitudinale Energie der
 Resonanz Quermode

- Höhe der Peaks: $\Gamma_1 \Gamma_2$
- Weite der Peaks: $\Gamma_1 + \Gamma_2$

Interpretation von $\Gamma_{1/2}$?

$$\Gamma \equiv \frac{dE_L}{\theta} T$$

Phasenverschiebung bei Umlauf

$$\theta = 2kw \quad w : \text{ effektive Breite zwischen Barrieren}$$

$$\text{damit } \frac{dE_L}{d\theta} = \frac{1}{2w} \frac{dE_L}{dk} = \frac{1}{2w} \hbar v$$

ν : Gruppengeschwindigkeit mit der e^- zwischen Barrieren umläuft

$$f = \frac{v}{2w} : \text{ "Anschlagfrequenz" (wie oft prallt } e^- \text{ an Barriere)}$$

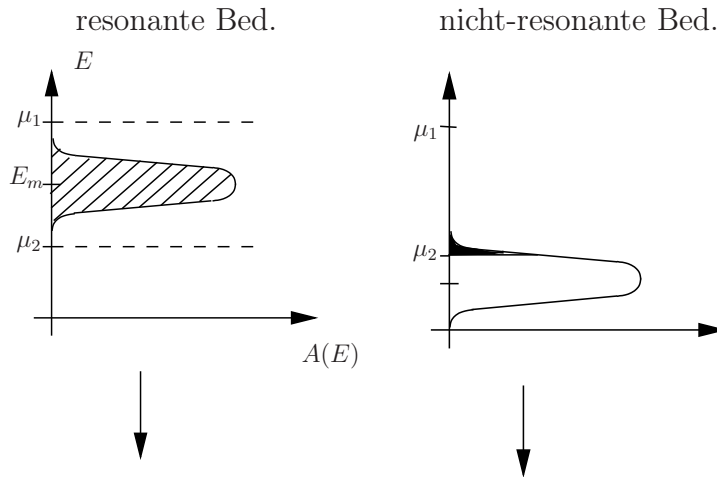
damit

$$\frac{\Gamma_{1,2}}{\hbar} = f T_{1,2} : \text{ Verlustrate der } e^- \text{ durch Barriere 1 und 2}$$

Strom

$$I = \frac{2e}{h} \int_{\mu_2}^{\mu_1} \bar{T}(E) dE$$

$$I = \sum_m I_m \text{ mit } I_m = \frac{2e}{h} \frac{\Gamma_1 \Gamma_2}{\Gamma_1 + \Gamma_2} \int_{\varepsilon_m}^{\mu_1} A(E - E_m) dE$$



wenn $A(E - E_m)$ innerhalb des Energiefensters $\int A(E)dE \rightarrow 0$

liegt

$$\int A(E)dE = 2\pi$$

↓

Peak-Strom der Mode

$$I_p = \frac{2e}{\hbar} \frac{\Gamma_1 \Gamma_2}{\Gamma_1 + \Gamma_2}$$

⇒ Gesamtstrom durch Aufsummation aller Moden im Energiefenster

⇒ Anstieg des Stromes mit $\Delta\mu$, ungefähr linear, dann steiler Abfall weil keine Niveaus mehr im Energiefenster

Einfluß der Streuung?

Annahme bis jetzt: kohärentes Tunneln, beschrieben durch SG. Korrekt falls die Aufenthaltszeit des Elektrons im resonanten Zustand (Lebensdauer) $\ll \tau_\varphi$: Streuzeit

Falls Lebensdauer größer als Streuzeit

→ sequentielles Tunneln, e^- verliert Phaseninformation durch Streuung

vorhin $\frac{\Gamma_{1/2}}{\hbar}$: Verlustrate der e^- durch Barriere

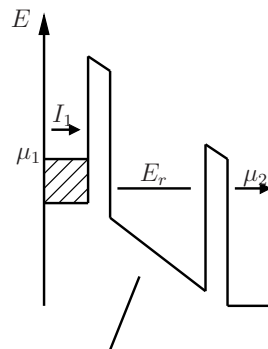
Kohärentes Tunneln adäquat für dünne Barrieren:

$$\Gamma_1 + \Gamma_2 \gg \Gamma_\varphi \quad \text{mit} \quad \Gamma_\varphi \equiv \frac{\hbar}{\tau_\varphi} : \text{Streureate}$$

Sequentielles Tunneln adäquat für dicke Barrieren:

$$\Gamma_1 + \Gamma_2 \leq \Gamma_\varphi$$

⇒ stellen Ratengleichung für unser System auf



Modell mit nur einer Mode

$$I_1 = 2e \frac{\Gamma_1}{\hbar} [f_1(1 - f_r) - f_r(1 - f_1)]$$

f_1 : Fermifunktion für Zuleitung 1
 f_r : Wahrscheinlichkeit das E_r
 besetzt ist

analog

$$I_2 = \frac{2e\Gamma_2}{\hbar} [f_2(1 - f_r) - f_r(1 - f_2)]$$

$$kT \ll \Delta\mu$$

$$\Rightarrow f_1 = 1, \quad f_2 = 0$$

$$\Rightarrow I_1 = 2e \frac{\Gamma_1}{\hbar} (1 - t_r)$$

$$I_2 = -2e \frac{\Gamma_2}{\hbar} (1 - t_r)$$

$$\text{Stromerhaltung: } I_1 + I_2 = 0 \Rightarrow \Gamma_1(1 - t_r) = \Gamma f$$

$$\Rightarrow f = \frac{\Gamma_1}{\Gamma_1 + \Gamma_2}$$

$$\Rightarrow \boxed{I_1 = -I_2 = \frac{2e}{\hbar} \frac{\Gamma_1 \Gamma_2}{\Gamma_1 + \Gamma_2}}$$

Äquivalent zu kohärenten Tunneln!!

D.h. vollständig kohärentes und vollständig inkohärentes Tunneln führen auf

den gleichen Strom. Gilt auch für partiell kohärentes Tunneln.

Gilt nicht für nichtresonantes Tunneln!

Nichtresonantes Tunneln wesentlich durch Streuprozesse bestimmt
(vertikale Ströme!)

Was passiert wenn wir die Doppelbarriere lateral einschnüren (bzw. Tunneln durch Quantenpunkt)?

e^-e^- -WW auf Niveaus beeinflusst Strom (Einzelelektronentunneln)

$$G(E_f) = \sum_m \frac{e^2}{h} \frac{\Gamma_1^m \Gamma_2^m}{\Gamma_1^m + \Gamma_2^m} L(E_f - E_m)$$

linearer Response
für kleine Spannungen
und tiefe Temp.
↓
↓
... verbreiterte
Spektralfunktion

$$\sum_m \frac{e^2}{h} \frac{\Gamma_1^m \Gamma_2^m}{\Gamma_1^m + \Gamma_2^m} \sum_N P_{N,m}(E_f) L(E_f - E_m - (N + 0.5)U_0)$$

(Meir et al. PRL **66**, 3048 (1991));

(Beenakker PRB **44**, 1646 (1991))

mit $P_{N,m}$: Wahrscheinlichkeit daß $N e^-$ im Quantenpunkt sind (abzähl. e^- auf E_m)

$U_0 = \frac{e^2}{C}$: WW der e^- im QP mit Kapazität C

betrachten

$$\begin{aligned} E(N + 1, 1_m) - E(N, 0_m) &= \left[E_m + \frac{(N + 1)^2 e^2}{2C} \right] - \frac{N^2 e^2}{2C} \\ &= E_m + \frac{(2N + 1)e^2}{2C} = E_m + (N + 0.5)U_0 \end{aligned}$$

(Energie des geladene
Kond.: $W = \frac{1}{2} \frac{Q^2}{C}$)

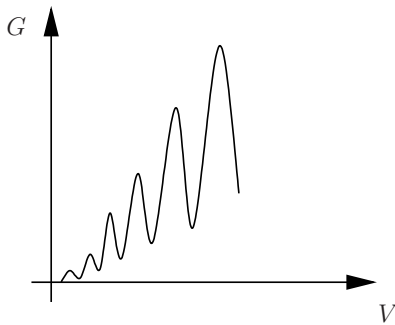
⇒ Maxima im Leitwert für

$$E_f = E(N + 1, 1_m) - E(N, 0_m)$$

physikalische Interpretation: Leitung durch Einzelelektronenhopping

$$(N, 0_m) \rightarrow (N + 1, 1_m) \rightarrow (N, 0_m)$$

Nachweis der quantifizierten Ladung durch Leitwertmessung



vgl. Fig. 8 in

Kastner, Rev. Mod. Phys. **64**,
849 (1992)